

Représentants lagrangiens de l'homologie des surfaces projectives complexes

Daniel Bennequin
Université Paris 7 / Denis Diderot
Institut de Mathématiques - UMR CNRS 7586

Thanh-Tâm Lê
Ecole Polytechnique

16 mars 2009

Résumé

Using results by Donaldson and Auroux on pseudo-holomorphic curves as well as Duval's rational convexity construction, the paper investigates the existence of smooth Lagrangian surfaces representing 2-dimensional homology classes in complex projective surfaces. We prove that if the projective surface X is minimal, of general type, with uneven geometric genus, and has an effective, smooth and connected canonical divisor \mathcal{K} , then there exists a non-empty convex open cone in the real 2-dimensional homology group $H_2(X; \mathbb{R})$ such that a multiple of every integral homology class in this cone can be represented by an embedded Lagrangian surface in $X \setminus \mathcal{K}$. A corollary asserts that such a surface X is of simple type in the sense of Kronheimer and Mrowka.

1 Introduction

L'ambition de décrire la topologie des surfaces projectives complexes est ancienne, comme le montrent les travaux fondateurs de Picard et Lefschetz [43, 49]. Elle a connu récemment des développements spectaculaires, notamment à travers les travaux de Donaldson, Seiberg-Witten et Taubes. Mais il manque encore, pour les surfaces complexes, une représentation géométrique aussi claire que celle qu'on a pour les surfaces de Riemann ou maintenant pour les variétés de dimension 3.

Les plus gros progrès sur la question sont dus à l'analyse globale, d'abord développée dans le cadre linéaire par Hodge, Atiyah, Hirzebruch et Kodaira.

Ensuite apparaît l'analyse non-linéaire, en particulier l'étude des instantons (Atiyah, Hitchin, Donaldson, Kronheimer et Mrowka) et des monopôles (Seiberg et Witten, Taubes). Aujourd'hui interviennent les théories des super-cordes et des D-branes.

Notons que les surfaces projectives complexes sont naturellement des variétés symplectiques réelles compactes de dimension 4 : on peut donc parler de leurs sous-variétés symplectiques ou lagrangiennes. La plupart des avancées géométriques récentes font explicitement intervenir la géométrie symplectique. D'ailleurs, elles réussissent à étendre aux variétés symplectiques une partie des résultats connus dans le cas des surfaces projectives complexes.

Deux techniques fondamentales ont été introduites dans ce sens : celle des courbes pseudo-holomorphes de Gromov [34] et celle des sections asymptotiquement holomorphes de fibrés développée par Donaldson [19]. Ces méthodes ont permis d'établir l'existence de surfaces symplectiques plongées dans les variétés symplectiques de dimension 4 [34, 58, 59, 6, 7, 8, 22].

Du côté des surfaces lagrangiennes plongées, on dispose de très peu de résultats d'existence ; en revanche, les propriétés de rigidité, d'unicité, ou non, à isotopie près ont été mieux explorées [25, 50, 46, 52, 15, 17, 5, 60].

Pour étudier le problème de la disjonction des sous-variétés lagrangiennes (dont le problème d'existence des orbites périodiques de flots hamiltoniens est un cas particulier), A. Floer a introduit sa théorie d'homologie [27, 28]. Partant de là, Fukaya [29] puis Fukaya, Oh, Ohta et Ono (*cf.* [30, 48]) ont défini une théorie cohomologique (A_∞ -catégorie), qui a permis à Kontsevich et Soibelman de formuler un ensemble de conjectures appelées "conjectures miroir homologiques" [37, 38].

Par exemple, pour les surfaces K3 et, plus généralement, pour les variétés de Calabi-Yau, ces conjectures proposent une équivalence de catégories entre la structure A_∞ de Fukaya d'une variété et la catégorie dérivée des faisceaux cohérents d'une autre variété, sa variété "duale" : heuristiquement, certaines sous-variétés lagrangiennes d'une variété quasi-projective correspondent à des diviseurs holomorphes d'une autre variété (*cf.* [35]). La symétrie miroir provient des théories quantiques de champs (super-)conformes issues des théories de super-cordes. Cela reste un problème de comprendre son extension la plus générale. Auroux, Katzarkov et Orlov [11] étendent la dualité de surfaces à certaines variétés rationnelles et à certaines fibrations elliptiques.

En un sens, les constructions de notre article suggèrent une extension de la dualité miroir aux surfaces de type général : partant d'une surface projective X de type général avec un diviseur canonique lisse, elles construisent une variété symplectique \tilde{X} dont les courbes pseudo-holomorphes donnent

des surfaces lagrangiennes de X . Signalons que, dans sa thèse [12], Alireza Bahraini procède à une construction analogue mais où \tilde{X} est munie d’une structure analytique complexe intégrable singulière le long d’un diviseur.

Dans cet article, nous établissons le premier théorème général d’existence de surfaces lagrangiennes de genre plus grand que 2.

Nous nous plaçons dans le cas où la surface algébrique complexe X possède une structure kählérienne ω_0 colinéaire à sa classe canonique K : c’est ce qui arrive pour les plongements pluricanoniques des surfaces de type général.

Suivant la démarche initiale de Picard, une fois qu’on dispose d’un diviseur Σ représentant ω_0 (ou un multiple), on peut considérer le complémentaire de Σ dans X : c’est une variété de Stein dont l’homologie a été appelée par Picard l’“homologie à distance finie” de X . Il est très tentant de chercher à rétracter $X \setminus \Sigma$ sur un 2-complexe cellulaire isotrope. C’est ce que devrait faire le gradient d’une fonction pluri-sous-harmonique [2] mais, en général, il se pose un problème de désingularisation. En utilisant la construction asymptotique de Donaldson, Paul Biran a démontré l’existence d’un tel complexe avec des intersections transverses. Mais il demeure le problème de rendre ce complexe le plus explicite et économique possible.

Par ailleurs, dans l’esprit indiqué par Lefschetz, on aimerait représenter les classes d’homologie orthogonales à ω_0 (et à K) par des surfaces lagrangiennes dans $X \setminus \Sigma$ et leur trouver les représentants lisses les plus simples possibles (on sait qu’il arrive que des surfaces lagrangiennes non isotopes soient homologues (*cf.* [26, 60])). Paul Seidel, dans sa thèse [52], a construit des représentants lagrangiens sphériques pour les cycles évanescents ; à l’aide de ces cycles, il a étudié les groupes de difféomorphismes symplectiques à isotopie près, puis il a formé une théorie cohomologique “évanescence” dans l’esprit de Fukaya [54, 55].

Signalons que le problème de l’existence et de l’unicité d’une sous-variété lagrangienne avec des conditions homologiques prescrites a donné lieu à plusieurs études récentes d’un grand intérêt [9, 16, 17, 1, 18, 53, 62].

À l’origine du présent travail se trouve un exposé de Daniel Bennequin (lors du colloque Thom de 1988) qui portait sur l’existence de squelettes lagrangiens et de représentants lagrangiens dans les classes d’homologie. Le théorème principal du présent article faisait partie de la thèse de Lê Thanh-Tâm soutenue en 2002 à l’Université Paris 7 [42].

Notre travail utilise les résultats de Donaldson et d’Auroux sur les courbes pseudo-holomorphes [19, 20, 6, 7, 8], ainsi qu’une construction de Duval sur la convexité rationnelle [24].

Nous démontrons que si la surface projective X est minimale, de type

général, de genre géométrique impair et admet un diviseur canonique K effectif, lisse et connexe, alors il existe un cône ouvert non-vidé dans l'homologie réelle H_2 de $X \setminus K$ tel que toute classe d'homologie entière dans ce cône admet un multiple qui se représente par une surface lagrangienne plongée dans $X \setminus K$.

Un corollaire affirme qu'une telle surface X est de type simple au sens de Kronheimer et Mrowka [39].

Remerciements. Les auteurs tiennent à remercier, pour leur aide et leur participation, Denis Auroux, Julien Duval, Paul Gauduchon, Emmanuel Giroux, François Laudenbach, Manuel Samuelides, Claude Viterbo et, tout spécialement, Yakov Eliashberg et Jean-Claude Sikorav pour leur travail attentif et leurs suggestions.

2 Énoncé et plan

Nous cherchons à représenter des classes d'homologie de dimension 2 sur une surface projective $X \subset \mathbb{C}\mathbb{P}^M$ par des surfaces lagrangiennes lisses. La variété X est supposée lisse, minimale, avec $c_1(X)^2 > 0$: le fibré canonique \mathcal{K}_X est donc ample [13], et l'on fait en outre l'hypothèse qu'il existe un diviseur canonique Σ_0 lisse et connexe. X est munie de la métrique \mathbf{g}_0 et de la structure symplectique ω_0 induites par la métrique de Fubini-Study sur $\mathbb{C}\mathbb{P}^M$: le triplet $(J_0, \mathbf{g}_0, \omega_0)$ est compatible (au sens où $\omega_0(\mathbf{x}, \mathbf{y}) = \mathbf{g}_0(J_0\mathbf{x}, \mathbf{y})$; $\mathbf{x}, \mathbf{y} \in \Gamma(TX)$, J_0 presque-complexe, \mathbf{g}_0 riemannienne). Enfin, on suppose que la classe $[\omega_0]$ est duale d'un multiple de $[\Sigma_0]$, ce qui arrive en particulier si ω_0 est induite par un plongement multicanonique. Pour ne pas surcharger l'écriture, nous noterons simplement $\|\cdot\|$ les normes pour la métrique \mathbf{g}_0 .

Rappelons que si \mathbf{V} est un espace vectoriel orienté réel de dimension 4, \mathbf{G} la grassmannienne de ses 2-plans orientés et \mathbf{c} une structure conforme sur \mathbf{V} , alors \mathbf{G} est canoniquement isomorphe à $S_+ \times S_-$, où S_+ , respectivement S_- , sont les sphères "à l'infini" dans l'espace des 2-formes auto-duales, respectivement anti-autoduales pour \mathbf{c} . La sphère S_+ paramètre les structures complexes compatibles avec l'orientation et la structure conforme \mathbf{c} sur \mathbf{V} ; une telle structure complexe J étant fixée, S_- paramètre alors les droites J -complexes de \mathbf{V} . Pour tout triplet $(J_0, \mathbf{g}_0, \omega_0)$ cette décomposition en sphères correspond à la décomposition des puissances extérieures

$$\Lambda^+ = \Lambda^{2,0} \oplus \Lambda^{0,2} \oplus \Lambda^0 \cdot \omega_0 ; \quad \Lambda^- = \Lambda_0^{1,1},$$

où les éléments de $\Lambda_0^{1,1}$ sont les formes de bidegré $(1,1)$ orthogonales à ω_0 .

Considérons une forme différentielle holomorphe φ sur X , de type $(2,0)$, qui s'annule sur Σ_0 , et soit ω' la partie réelle de φ .

L'idée est la suivante. Dans le complémentaire de Σ_0 , ω' est une forme symplectique. Elle est auto-duale pour \mathbf{g}_0 ; sur $X \setminus \Sigma_0$, remplaçant \mathbf{g}_0 par la métrique $\mathbf{g}' = (\|\omega'\|/\sqrt{2}) \cdot \mathbf{g}_0$, conformément équivalente à \mathbf{g}_0 , ω' est de norme $\sqrt{2}$ pour \mathbf{g}' [61]. Ainsi, \mathbf{g}' et ω' sont compatibles, et définissent une structure presque-complexe J sur $X \setminus \Sigma_0$. De plus, J est une isométrie pour \mathbf{g}_0 et les structures J et J_0 sont orthogonales.

Une courbe dans $X \setminus \Sigma_0$ pseudo-holomorphe pour J sera alors lagrangienne pour ω_0 . En effet, si Σ est une telle courbe, J envoie $T\Sigma$ sur lui-même : pour tout $x \in \Sigma$, $\omega_0(\mathbf{x}, J\mathbf{x})$ est nul, d'où le résultat.

Si γ est une 2-forme anti-auto-duale pour \mathbf{g}_0 , donc de bidegré $(1,1)$, orthogonale à ω_0 , toute 2-forme $\omega = \omega' + \varepsilon \cdot \gamma$ avec ε assez petit sera encore symplectique hors d'un voisinage de Σ_0 . En général ω ne sera plus auto-duale pour \mathbf{g}_0 , mais l'opérateur J définira encore une structure presque-complexe adaptée à ω :

Lemme 1 *Soit $(J_0, \mathbf{g}_0, \omega_0)$ un triplet compatible sur X ; ω' la partie réelle d'une $(2,0)$ -forme holomorphe (auto-duale) sur X , avec un zéro sur le diviseur canonique Σ_0 , $\mathbf{g}' = \frac{\|\omega'\|}{\sqrt{2}} \mathbf{g}_0$ hors de Σ_0 , et J la structure presque-complexe associée à ω' et à \mathbf{g}' comme précédemment.*

Alors, pour toute 2-forme γ anti-auto-duale pour \mathbf{g}_0 et tout $\varepsilon > 0$ tels que $\|\varepsilon \cdot \gamma\| < \|\omega'\|$ en tout point hors d'un voisinage U de Σ_0 , $\omega = \omega' + \varepsilon \cdot \gamma$ et J sont encore compatibles. Elles définissent une métrique \mathbf{g} telle que le triplet (J, \mathbf{g}, ω) est compatible. En particulier, ω est auto-duale pour la structure conforme associée à \mathbf{g} .

En effet, la première assertion résulte du fait que γ étant anti-autoduale est de type $(1,1)$ pour J aussi bien que pour J_0 . La seconde assertion dit qu'en tout point x hors de U , pour tout $\mathbf{x} \in T_x X$, $\omega(\mathbf{x}, J\mathbf{x})$ ne s'annule que si $\mathbf{x} = 0$; mais l'hypothèse $\|\varepsilon \cdot \gamma\| < \|\omega'\|$ interdit que $\omega'(\mathbf{x}, J\mathbf{x}) = \frac{\|\omega'\|}{\sqrt{2}} \mathbf{g}_0(\mathbf{x}, \mathbf{x})$ soit compensé par $\varepsilon \cdot \gamma(\mathbf{x}, J\mathbf{x})$, d'où le résultat.

Rappelons que le module d'homologie à distance finie de Picard est défini comme l'image E_1 de $H_2(X \setminus \Sigma_0; \mathbb{Z})$ dans $H_2(X; \mathbb{Z})/\text{Torsion}$.

Remarque : A chaque courbe simple γ plongée dans Σ_0 , Picard associe un tore T_γ bordant un tore plein constitué de disques holomorphes centrés

sur γ . Ces tores T_γ sont lagrangiens. De plus, on sait qu'ils engendrent un supplémentaire de E_1 dans le quotient $H_2(X; \mathbb{Z})/\text{Torsion}$ [43, 41].

Définition 2 \tilde{C}^+ désigne l'ensemble des formes $\lambda\omega = \lambda(\omega' + \varepsilon.\gamma)$, $\lambda \in \mathbb{R}_+^*$, $\omega' + \varepsilon.\gamma$ comme ci-dessus, telles qu'il existe un voisinage tubulaire U de Σ_0 en dehors duquel ω est symplectique et adaptée à J . Notons $C_{\mathbb{Z}}^+$ (respectivement C^+) l'ensemble des classes d'homologie de dimension 2 dans E_1 (respectivement, dans $E_1 \otimes \mathbb{R}$) dont la classe duale a son représentant de Hodge dans \tilde{C}^+ .

Notons que $C_{\mathbb{Z}}^+$ est non vide et constitué de classes d'auto-intersection strictement positive.

Le principal résultat obtenu ici concerne le cas où le genre géométrique de X est impair :

Théorème 3 Soit X une surface projective complexe minimale, de genre géométrique impair, avec $c_1(X)^2 > 0$, et telle qu'il existe un diviseur canonique Σ_0 sur X , lisse, connexe. Supposons X muni de la structure symplectique induite par un plongement multicanonique. Alors tout élément de $C_{\mathbb{Z}}^+$ admet un multiple qui se représente par une surface lagrangienne Σ plongée dans $X \setminus \Sigma_0$.

Remarque : en vertu du théorème de Bertini (cf.[33]), l'hypothèse sur Σ_0 équivaut à l'absence de point de base pour le système linéaire canonique, ou encore à la régularité de l'application canonique. Nos autres hypothèses disent que le faisceau canonique est ample, mais il peut ne pas être très ample.

Dans leur article *Embedded surfaces and the structure of Donaldson's polynomial invariants* [39], Kronheimer et Mrowka démontrent que si une variété X de dimension 4, telle que $b_1(X)$ est nulle, $b^+(X)$ est impair et strictement supérieur à 1, contient une surface plongée tendue de genre supérieur ou égal à 2, alors X est de type simple. Ils conjecturent que, dans le cas particulier où X est de genre géométrique impair, X contient une telle surface plongée tendue de genre supérieur ou égal à 2. Notre théorème résout cette conjecture dans le cas où X possède un diviseur canonique lisse et connexe ; on peut donc déduire du théorème de Kronheimer et Mrowka le résultat suivant :

Corollaire 4 *Soit X une surface projective complexe minimale, de genre géométrique impair, avec $b_1(X) = 0$, $c_1(X)^2 > 0$, et telle qu'il existe un diviseur canonique Σ_0 sur X , lisse, connexe. Alors X est une variété simple au sens de Kronheimer et Mrowka.*

Remarque : si le genre géométrique de X est pair, on démontre l'existence d'une surface duale d'un multiple de $[\omega]$, réunion de deux surfaces à bord Σ' et Σ'' , telles que $\Sigma' \subset X \setminus U$ est lagrangienne et Σ'' est contenue dans U . Mais cela résulte aussi des constructions de Lefschetz. Il serait intéressant de voir, à partir de notre étude, dans quels cas la surface obtenue pourrait effectivement être disjointe de U en restant lagrangienne.

Pour établir le théorème, nous allons retirer un voisinage tubulaire U de Σ_0 . Obtenant ainsi une variété X_0 à bord $Y = \partial U$, nous la compléterons par une variété symplectique W de manière à prolonger ω et J en une forme symplectique et une structure complexe, encore notées ω et J , sur la variété compacte sans bord $\tilde{X} = X_0 \cup_Y W$.

Nous déduirons du théorème de Donaldson [19] l'existence d'une courbe pseudo-holomorphe Σ sur (\tilde{X}, J) , duale de $k\omega$ pour k assez grand, mais rencontrant *a priori* W . Restera le point délicat de disjointer Σ de W . Nous ferons alors appel aux résultats plus précis de Donaldson [19, 20] et d'Auroux [6, 8], ainsi qu'à une construction de J. Duval [24].

Indiquons brièvement le plan que nous allons suivre pour la démonstration.

1) La structure ω est étudiée au voisinage de Σ_0 ; en particulier, nous montrons que le bord Y d'un voisinage tubulaire U de Σ_0 est convexe (c'est-à-dire que X_0 est *concave*), et nous identifions la structure de contact F induite par J sur Y (section 3).

2) La structure F est une "structure de contact Spin", et Y est une "fibration Spin" au-dessus de Σ_0 . En 4 sont étudiées les structures Spin sur des surfaces de Riemann, d'après Atiyah. La section 5 établit que si la structure Spin sur Σ_0 induite par φ est *bordante* (c'est le cas si le genre géométrique p_g de X est impair), alors (Y, F) est le bord d'une variété de Stein W , *i.e.*, la structure de contact F est holomorphiquement remplissable.

Sur le complémentaire du 2-squelette S de W , nous prolongeons ω_0 en une forme symplectique orthogonale à ω . Nous prouvons que S est réunion de surfaces ω -lagrangiennes immergées, à croisements normaux.

3) À la variété symplectique (\tilde{X}, ω) ainsi obtenue s'applique le théorème de Donaldson : soit $(X; J, g, \omega)$ une variété symplectique avec $[\omega]$ entière,

(J, \mathbf{g}, ω) compatible, L un fibré en droites complexes sur X tel que $c_1(L) = [\omega]$; alors, pour k suffisamment grand, il existe des sections de $L^{\otimes k}$ transverses à la section nulle et asymptotiquement holomorphes.

Notons Σ le lieu des zéros d'une telle section. Nous commençons par démontrer que, pour k assez grand, toutes ces surfaces symplectiques pour ω peuvent être prises ω_0 -lagrangiennes (en fait, lagrangiennes pour ω_0 sur $\tilde{X} \setminus S$ et J -holomorphes au voisinage de S).

4) Suivant une démonstration par J. Duval [24] de la convexité rationnelle des surfaces isotropes des variétés kählériennes, nous arrivons, pour k grand, à construire une surface plongée Σ ω_0 -lagrangienne, disjointe de S , homologue au dual de Poincaré de $k[\omega]$. Enfin, Σ est déformée à l'aide d'un champ de Liouville de ω_0 pour la rendre plongée dans X_0 .

(*Remarque* : pour le quatrième point, nous pourrions aussi faire appel aux méthodes de J. P. Mohsen [47, 10].)

3 Au voisinage du diviseur canonique

Dans cette section, pour ne pas alourdir les notations, nous noterons Σ la surface Σ_0 .

3.1 N_Σ racine de \mathcal{K}_Σ

Remarquons tout de suite que le fibré normal de Σ dans X est une racine carrée du fibré canonique \mathcal{K}_Σ . En effet, si Σ est déterminée par une famille d'équations locales $\{U_\alpha, h_\alpha\}$, le fibré en droites associé, L_Σ (défini par le cocycle $g_{\alpha\beta} = h_\alpha/h_\beta \in \mathcal{O}^*(U_\alpha \cap U_\beta)$), est isomorphe à \mathcal{K}_X . Les dh_α sont des sections locales holomorphes sans zéros du fibré conormal de Σ , N_Σ^* , au-dessus des ouverts $U_\alpha \cap \Sigma \subset \Sigma$ et vérifient $dh_\alpha = g_{\alpha\beta}.dh_\beta$: elles définissent donc une section globale sans zéro de $N_\Sigma^* \otimes L_\Sigma$. Ainsi $(L_\Sigma)|_\Sigma = N_\Sigma$. De cette égalité et de la formule d'adjonction se déduit le résultat. D'après Atiyah [3], ceci signifie que le fibré normal de Σ dans X définit une structure Spin sur Σ .

Rappelons que le genre géométrique $p_g = h^{2,0}$ de X est la dimension de l'espace des sections holomorphes du fibré canonique \mathcal{K}_X . Or deux sections possédant le même diviseur sont proportionnelles, donc la dimension de l'espace des sections holomorphes de N_Σ est $p_g - 1$; elle est paire lorsque le genre géométrique de X est impair.

3.2 Structures de contact au bord du voisinage U

Soit Σ' le germe de Σ en un de ses points.

Dans des coordonnées locales holomorphes (z, w) où Σ' s'écrit $\{w = 0\}$, soit φ une 2-forme méromorphe dont Σ' est un pôle d'ordre $k \geq 2$ ou un zéro d'ordre $k \geq 1$; autrement dit

$$\varphi = w^k dz \wedge dw ; k \in \mathbb{Z}, k \neq 0, -1.$$

Hors de Σ , posons $w = \rho e^{it}$ et considérons $Y_{\epsilon'}$ d'équation $\{\rho = \epsilon'\}$, bord d'un voisinage tubulaire $U_{\epsilon'}$ de Σ' . Soit $g'_0 + i\omega'_0$ le produit hermitien sesquilinéaire standard dans ces coordonnées; notons ω' la partie réelle de φ . La forme ω' et la métrique $g'' = \frac{\|\omega'\|}{\sqrt{2}} g'_0$ sont compatibles et définissent donc une structure quasi-complexe J' . Nous voulons établir le lemme suivant :

Lemme 5 *Les droites complexes pour J' forment une structure de contact sur $Y_{\epsilon'}$, revêtement à $(k+1)$ feuillets de la structure des éléments de contact sur Σ' .*

Notons $z = x + iy$; une structure presque-complexe J' adaptée à ω' hors de Σ' est donnée par

$$\begin{aligned} J' dx &= \rho^k (\cos(k+1)t \cdot d\rho - \sin(k+1)t \cdot \rho dt), \\ J' dy &= \rho^k (-\sin(k+1)t \cdot d\rho - \cos(k+1)t \cdot \rho dt) \end{aligned}$$

et, par suite,

$$\begin{aligned} J' d\rho &= \rho^{-k} (-\cos(k+1)t \cdot dx + \sin(k+1)t \cdot dy), \\ J' dt &= \rho^{-k-1} (\sin(k+1)t \cdot dx + \cos(k+1)t \cdot dy). \end{aligned}$$

Sur la variété $Y_{\epsilon'}$, le champ de plans $F = TY_{\epsilon'} \cap J'TY_{\epsilon'}$ est défini par l'équation de Pfaff $\alpha = 0$ où $\alpha = -\frac{\epsilon'^{k+1}}{k+1} [\cos(k+1)t dx - \sin(k+1)t dy]$. Comme $\alpha \wedge d\alpha = \frac{\epsilon'^{2(k+1)}}{(k+1)^2} dx \wedge dy \wedge dt$, F est une structure de contact sur $Y_{\epsilon'}$ qui oriente $Y_{\epsilon'}$ comme bord de $U_{\epsilon'}$; comme, de plus, $d\alpha|_{TY_{\epsilon'}} \equiv \omega'|_{TY_{\epsilon'}}$, α est adaptée à $Y_{\epsilon'}$ et à ω' , et $Y_{\epsilon'}$, bord de $U_{\epsilon'}$, est du type de contact dans X .

Pour tout $k \neq -1$, la normale sortante \mathbf{n} de $Y_{\epsilon'}$ étant ∂_ρ et le champ de Reeb $\boldsymbol{\xi}$ de α étant $-\frac{k+1}{\epsilon'^{k+1}} [\cos(k+1)t \partial_x - \sin(k+1)t \partial_y]$, on calcule

$$\omega'(\mathbf{n}, \boldsymbol{\xi}) = \frac{k+1}{\epsilon'}.$$

$(Y_{\epsilon'}, F)$ est concave par rapport à ω' pour tout entier $k \leq -2$, et convexe par rapport à ω' pour tout entier $k \geq 0$. \diamond

L'application que nous ferons de ce lemme ne concerne que le cas $k = 1$. Même localement, on ne peut supposer que g_0 coïncide avec une métrique plate comme l'est g'_0 ; par contre une telle égalité est vraie à l'ordre 2 en un point donné. On en déduit le lemme suivant :

Lemme 6 *Dans un voisinage tubulaire U de Σ , soit ϱ la distance à Σ et Y_ϵ la sous-variété d'équation $\varrho = \epsilon$. Les droites J -complexes forment sur Y_ϵ un champ de plans de contact F_ϵ isomorphe à un revêtement double du champ de plans de la structure standard de $ST\Sigma$.*

Fixons une fois pour toutes un revêtement du fibré en cercles unités pour une métrique sesquilineaire g'_0 sur le fibré normal N_Σ :

$$(Y \subset N_\Sigma) \xrightarrow{\pi} (ST\Sigma \subset T\Sigma)$$

et notons F' la structure sur Y qui s'en déduit.

Dans chaque ouvert trivialisant $U^{(\alpha)}$ du fibré $ST\Sigma$, le lemme 5 fournit une structure $J^{(\alpha)}$ telle que F' s'identifie à la structure $F'_{\epsilon'}^{(\alpha)}$ du lemme sur le bord $Y_{\epsilon'}^{(\alpha)}$ d'un voisinage $U_{\epsilon'}^{(\alpha)}$.

Par ailleurs, le flot géodésique pris aux temps ϵ successifs fournit une famille à un paramètre, analytique réelle, de difféomorphismes φ_ϵ de Y sur Y_ϵ . La structure $\varphi_\epsilon^* F_\epsilon$ restreinte à $U^{(\alpha)}$ est C^1 -proche de $F'_{\epsilon'}^{(\alpha)}$. Grâce au théorème de Moser et Gray (cf. [14]), les structures $\varphi_\epsilon^* F_\epsilon$ et F' sont alors difféomorphes. \diamond

Toujours en vertu du théorème de Moser et Gray, les lemmes 5 et 6 restent valables si ω' est remplacée par une forme symplectique $\omega = \omega' + \epsilon \cdot \gamma$, où γ est une (1,1)-forme anti-auto-duale (orthogonale à ω_0) et ϵ est suffisamment petit.

4 Structures Spin sur les surfaces de Riemann

Rappelons brièvement la définition d'une structure Spin. Soit V une variété réelle riemannienne orientée de dimension $n \geq 2$, et $P_{SO}(V)$ le fibré [principal à droite, de groupe structural $SO(n)$] de ses repères orthonormés. (Pour $n = 2$, nous convenons que $Spin(2)$ est $SO(2)$ vu comme revêtement double connexe de $SO(2)$.)

Une structure Spin sur V est la donnée d'un $Spin(n)$ -fibré principal \dot{P} et d'un revêtement double $\dot{\xi}$, morphisme de fibrés $Spin(n)$ -équivant :

$$\dot{P} \xrightarrow{\dot{\xi}} P_{SO}(V).$$

Une condition nécessaire et suffisante pour que V admette une structure Spin est la nullité de sa deuxième classe de Stiefel-Whitney $w_2(V)$. On dit que deux structures Spin sont équivalentes s'il existe un diagramme commutatif d'isomorphismes des fibrés principaux correspondants.

Si $w_2(V) = 0$, la suite exacte

$$0 \rightarrow H^1(V; \mathbb{Z}_2) \xrightarrow{\pi^*} H^1(P_{SO}(V); \mathbb{Z}_2) \rightarrow H^1(SO(n); \mathbb{Z}_2) \xrightarrow{w} H^2(V; \mathbb{Z}_2),$$

extraite de la suite spectrale associée à la fibration

$$SO(n) \rightarrow P_{SO}(V) \xrightarrow{\pi} V,$$

permet de conclure que les structures Spin sur V sont en bijection avec les éléments de $H^1(V; \mathbb{Z}_2)$ (de fait, w envoie le générateur de $H^1(SO(n); \mathbb{Z}_2) \cong \mathbb{Z}_2$ sur $w_2(V)$ dans la suite spectrale ci-dessus).

Si V est de dimension paire $2m$, munie d'une structure presque-complexe, la réduction de $SO(2m)$ à $U(m)$ permet de montrer, à partir des suites exactes

$$0 \rightarrow H^1(V; \mathbb{Z}_2) \xrightarrow{\pi^*} H^1(P_U(V); \mathbb{Z}_2) \rightarrow H^1(U(m); \mathbb{Z}_2) \rightarrow H^2(V; \mathbb{Z}_2)$$

et

$$0 \rightarrow H^1(V; \mathbb{Z}_2) \xrightarrow{\pi^*} H^1(\det P_U(V); \mathbb{Z}_2) \rightarrow H^1(U(1); \mathbb{Z}_2) \rightarrow H^2(V; \mathbb{Z}_2),$$

que les structures Spin sur V sont en bijection avec les revêtements doubles du $U(1)$ -fibré déterminant des repères dont la restriction à chaque fibre est $U(1) \rightarrow U(1), e^{i\theta} \mapsto e^{2i\theta}$. Par conséquent, si V est analytique complexe, l'homomorphisme π^* réalise une bijection entre les classes de structures Spin sur V et les classes d'isomorphisme des couples (L, κ) , où L est un fibré en droites holomorphe et κ un isomorphisme holomorphe de $L \otimes L$ dans le fibré canonique \mathcal{K}_V de V . Si, de plus, V est compacte, la structure holomorphe de L détermine κ à une constante multiplicative près, de sorte que les classes de structures Spin sur une variété complexe compacte V sont en bijection naturelle avec les classes d'isomorphisme de fibrés en droites holomorphes L tels que $L \otimes L$ est isomorphe au fibré canonique \mathcal{K}_V de V .

Lorsque $m = 1$ et que V est une surface de Riemann compacte Σ de genre g , il existe exactement 2^{2g} structures Spin non équivalentes. Le fibré canonique \mathcal{K}_Σ de Σ est son fibré cotangent holomorphe. La caractéristique d'Euler de Σ , $2 - 2g$, étant paire, \mathcal{K}_Σ admet une racine carrée, c'est-à-dire un fibré en droites holomorphe L tel que $L \otimes L \cong \mathcal{K}_\Sigma$. Notons $\mathcal{R}(\Sigma)$ l'ensemble

des classes d'isomorphisme de tels fibrés, racines carrées de \mathcal{K}_Σ . L'on définit la fonction

$$\varphi : \mathcal{R}(\Sigma) \rightarrow \mathbb{Z}_2, \quad L \mapsto \dim H^0(L) \pmod{2}.$$

Atiyah démontre la proposition suivante : *La fonction φ est quadratique et sa forme bilinéaire associée B_φ s'identifie au cup-produit sur $H^1(\Sigma; \mathbb{Z}_2)$.* On appelle *paire*, respectivement *impaire*, une classe de structure Spin \mathbf{s} telle que $\varphi(\mathbf{s}) = 0$, resp. $\varphi(\mathbf{s}) = 1$.

Si V est une variété compacte à bord de dimension $n > 1$, une structure Spin sur V induit une structure Spin sur ∂V [45]. Une variété compacte V munie d'une structure Spin est *Spin-cobordante à 0* (ou, en abrégé, *bordante*) si elle est différentiablement équivalente au bord $\partial V'$ d'une variété Spin, muni de la structure Spin induite.

Le théorème de l'indice d'Atiyah-Singer (*cf.* [4], théorème (3.3), et [3]) permet alors de démontrer le théorème suivant : soit \mathbf{s} une structure Spin sur Σ ; alors (Σ, \mathbf{s}) est Spin-cobordante à 0 si, et seulement si \mathbf{s} est paire.

Atiyah en déduit le théorème :

Une surface de Riemann Σ de genre g admet exactement $2^{g-1}(2^g + 1)$ structures Spin cobordantes à zéro.

Exemples : Pour $\Sigma = T^2$, le fibré en cercles unitaires du cotangent, ST^*T^2 , s'identifie à T^3 . Les structures Spin correspondent aux sous-groupes d'indice 2 dans $\pi_1(T^3) = \mathbb{Z}^3$ qui s'envoient surjectivement sur $\pi_1(T^2)$: ce sont les quatre sous-groupes engendrés par les triplets

$$(2e_0, e_1, e_2) ; (e_0, e_1 + 2e_0, e_2) ; (e_0, e_1, e_2 + e_0) ; (e_0, e_1 + 2e_0, e_2 + 2e_0).$$

Les trois premières structures Spin sont cobordantes à zéro, pas la quatrième.

Toujours sur T^3 , avec des coordonnées angulaires (θ, x_1, x_2) , pour tout $n \geq 1$, notons ζ_n la structure de contact définie par la 1-forme $(\cos n\theta)dx_1 + (\sin n\theta)dx_2$. Cette structure est tendue pour tout n . Les trois structures Spin bordantes donnent ζ_1 ; la structure non-bordante, ζ_2 . Eliashberg a démontré que ζ_2 n'était pas holomorphiquement remplissable (elle ne borde pas une variété de Stein), alors que ζ_1 est la structure standard sur ST^*T^2 , bord de Stein. Néanmoins, d'après Giroux (*cf.* [31]), ζ_2 (de même que les autres ζ_n) borde une variété symplectique (compacte à bord) du côté convexe.

5 Remplissage des structures de contact Spin

L'objet de cette section est de démontrer le résultat suivant :

Proposition 7 *Soit s une structure Spin sur une surface de Riemann Σ , cobordante à zéro. Alors la structure de contact correspondante est holomorphiquement remplissable, c'est-à-dire qu'elle borde une variété de Stein.*

5.1 Spin-cobordisme et genre géométrique

En ce qui concerne notre problème de départ, la condition nécessaire et suffisante pour que la structure Spin induite par ω sur le diviseur Σ soit cobordante à zéro est que la dimension de l'espace des sections holomorphes du fibré normal N_Σ soit paire. Or cette dimension est égale au genre géométrique diminué de 1, donc la structure Spin considérée borde si, et seulement si p_g est impair. Sous cette hypothèse, nous obtiendrons donc la variété symplectique \tilde{X} annoncée en introduction comme conséquence de la proposition 7.

5.2 Le modèle global du remplissage

Atiyah montre que si une structure Spin sur la surface de Riemann Σ est cobordante à zéro, elle borde dans une anse pleine ([3], p. 58).

Cette hypothèse étant supposée vérifiée, donnons-nous à présent une anse pleine V de bord Σ ; une structure Spin s' sur V de bord s ; et une fonction de Morse $f : V \rightarrow \mathbb{R}$ possédant g points critiques p_1, \dots, p_g d'indice 1 (au voisinage d'un tel point, ∇f est rentrant dans 2 directions et sortant dans la troisième), et un unique point critique p_0 d'indice 0 (au voisinage duquel le gradient est rentrant dans toutes les directions). Nous noterons R le fibré des repères orthonormés directs sur V et P le revêtement spinoriel associé à $s' : P \rightarrow R$.

Les paragraphes 5.3, 5.4 et 5.5 donneront un fibré en cercles \tilde{M} au-dessus de $V^\times = V \setminus (B_1 \cup \dots \cup B_g \cup B_0)$, plongé dans P , et une manière d'attacher à \tilde{M} des boules $\tilde{B}_1, \dots, \tilde{B}_g, \tilde{B}_0$, modèles locaux de remplissage symplectique, permettant d'obtenir une variété symplectique (W, ω) , de bord Y , et une fonction $F : W \rightarrow \mathbb{R}$ relevant f au-dessus de V^\times , fonction de Liouville pour ω , qui possède un unique point critique \tilde{p}_i dans chaque \tilde{B}_i .

5.3 Extension régulière et d'indice zéro

Entre deux niveaux critiques de f , nous remplissons la structure de contact Spin au bord de la manière suivante. Soient a et b deux valeurs critiques consécutives de f ($0 < a < b$, $]a, b[$ ne contenant pas de valeur

critique) : $f^{-1}(]a, b[) \subset V$ s'identifie au produit d'une surface riemannienne réelle S par $]a, b[$; posons $M_{a,b} := ST^*S \times]a, b[$.

En chaque point de $S \times]a, b[$, la donnée d'un vecteur tangent à S , de longueur 1, jointe à la direction de t dans $]a, b[$, définit un point du fibré R . Nous avons donc un plongement canonique j de $M_{a,b}$ dans R , et nous notons $\tilde{M}_{a,b}$ le relèvement de $j(M_{a,b})$ dans l'espace total du revêtement Spin $P \rightarrow R$.

Le plongement de $M_{a,b}$ dans T^*S qui envoie $(x, v; t)$ sur $(x; e^t.v)$ munit $M_{a,b}$ d'une structure symplectique ϖ ; soit $\tilde{\varpi}$ la structure qui s'en déduit sur $\tilde{M}_{a,b}$. D'où l'énoncé suivant :

Lemme 8 *Pour tout $t \in]a, b[$, la structure de contact Spin au-dessus de $S \times \{t\}$ borde la structure $\tilde{\varpi}$ sur $\tilde{M}_{a,b}$ au-dessus d'un produit $S \times [t - \epsilon, t[$, $\epsilon > 0$.*

Nous verrons en 5.6 comment raccorder ces structures entre elles loin des points critiques, grâce à des formes de Liouville.

Pour compléter la construction, il faut disposer de modèles locaux permettant de remplir les structures de contact tracées au-dessus du bord des B_i , voisinages des points critiques c_i .

(Comme f croît dans la direction du remplissage, la dimension des variétés dilatantes en un point-selle est 1 : on dira qu'on a affaire à un point d'indice 1 ; un puits pour le gradient est, quant à lui, d'indice 0.)

Pour le point critique p_0 de f d'indice 0, choisissons une petite boule centrée en p_0 dans V , dont le bord est un niveau de f ; au-dessus de ce bord, le lemme 8 fournit une sphère S^3 dans P , munie de la structure de contact standard, revêtement double de ST^*S^2 munie de la structure des éléments de contact. Cette structure de contact est remplissable de façon standard.

Reste donc à remplir par des structures symplectiques sur des boules de dimension 4 au-dessus du voisinage des points critiques d'indice 1. Le remplissage de Stein résultera alors des théorèmes d'Eliashberg [25] et de Gompf [32].

5.4 Préparation d'indice 1

Soit $p_i, i \geq 1$ un tel point critique d'indice 1. Au-dessus d'un voisinage de ∂B_i , le champ de Liouville est projetable sur un champ de vecteurs rentrant dans la boule B_i dans deux directions et sortant dans la troisième, puisqu'il relève ∇f par construction.

D'autre part, le bord de \tilde{M} au-dessus de ∂B_i est une variété Z de dimension 3 fibrant en cercles au-dessus d'une sphère de dimension 2 ; notons \mathcal{F} cette fibration et appelons \mathcal{P}_1 le champ de plans tangents dans V défini le long de ∂B_i par les perpendiculaires au gradient de f .

Identifions ∂B_i à la sphère S^2 de centre 0 et de rayon 1 dans \mathbb{R}^3 et considérons le champ \mathcal{P}_0 de plans tangents à la sphère S^2 orientés par les normales sortantes. La latitude des points de contact correspondants étant repérée par l'angle θ (égal à 0 au pôle sud et à π au pôle nord), nous appliquons à chaque plan une rotation ϱ_t d'angle 2θ autour de la droite passant par le point de contact et parallèle à l'axe des pôles ($t \in [0, 1]$). Le champ \mathcal{P}_1 est alors homotope à $\varrho_1(\mathcal{P}_0)$, pour lequel les plans aux pôles sont orientés par les normales sortantes, les plans le long de l'équateur par les normales *rentrantes*.

Relevant les deux champs de plans homotopes \mathcal{P}_0 et \mathcal{P}_1 dans S^3 et dans Z respectivement, nous voyons que la fibration en cercles (Z, \mathcal{F}) est homotope, donc isotope à la fibration de Hopf de S^3 .

Ces observations vont nous permettre de compléter le remplissage symplectique à l'aide du modèle local suivant.

5.5 Modèle local pour le remplissage symplectique au voisinage des points critiques d'indice 1

Soient $z = x + iy$ et $w = u + iv$ les coordonnées standard sur \mathbb{C}^2 , J la structure presque-complexe donnée par la multiplication par i .

Lemme 9 *Il existe, au voisinage de l'origine dans \mathbb{C}^2 , une fonction strictement pluri-sous-harmonique φ possédant la propriété suivante : si $\hat{\omega}$ est la forme symplectique $dd^J\varphi$, le champ de Liouville pour $\hat{\omega}$ le long d'une sphère S^3 centrée en 0, de rayon r suffisamment petit, est projetable suivant la fibration de Hopf et se projette sur la restriction à S^2 dans \mathbb{R}^3 du champ standard pour un point critique d'indice 1.*

La projection h de S^3 sur S^2 étant donnée par

$$\begin{aligned} & (x + iy, u + iv) \\ & \mapsto (x_1, x_2, x_3) = (2(xy - uv), 2(xv + uy), (x^2 + u^2) - (y^2 + v^2)), \end{aligned}$$

le tore T s'envoie sur le cercle $r^2 S^2 \cap \{x_3 = 0\}$ de rayon r^2 , les cercles C_1 et C_2 s'envoyant respectivement sur les points $(0, 0, r^2)$ et $(0, 0, -r^2)$. (L'application h est une fibration de Hopf orthogonale à la fibration donnée par la structure standard de \mathbb{C}^2 .)

Nous allons chercher à construire φ sous la forme $\varphi(z, w) = F(x^2 + u^2, y^2 + v^2)$. L'idée est de prendre un lissage du carré de la distance à $\{x = u = 0\} \cup \{y = v = 0\}$, modifié par une petite perturbation qui permette d'obtenir les propriétés voulues pour le champ $\nabla\varphi$ (pour la métrique standard de \mathbb{C}^2). Plus précisément, soit $g : \mathbb{R} \rightarrow [0, 1]$ une fonction de classe C^∞ , qui vaut 0 sur $]-\infty, -\eta]$ ($\eta > 0$ petit), 1 sur $[\eta, +\infty[$, et est strictement croissante sur $[-\eta, \eta]$, de dérivées première et seconde bornées, prenant la valeur 1/2 en 0; et soit $\epsilon > 0$ petit. Définissons la fonction φ sur \mathbb{C}^2 par

$$\begin{aligned} \varphi(x + iy, u + iv) = & \\ & (x^2 + u^2) \cdot [1 - g(x^2 + u^2 - y^2 - v^2) - \epsilon] \\ & + (y^2 + v^2) \cdot [g(x^2 + u^2 - y^2 - v^2) - \epsilon]. \end{aligned}$$

Alors :

$$\begin{aligned} \hat{\omega} &= dd^J\varphi \\ &= 2 \cdot (1 - 2\epsilon) (dx \wedge dy + du \wedge dv) \\ &\quad + 4 \cdot [(x^2 + u^2 - y^2 - v^2) \cdot g''(x^2 + u^2 - y^2 - v^2) \\ &\quad + 2 \cdot g'(x^2 + u^2 - y^2 - v^2)] \\ &\quad \cdot [-(x^2 + y^2) dx \wedge dy - (u^2 + v^2) du \wedge dv \\ &\quad - (xu + yv) (dx \wedge dv - dy \wedge du) \\ &\quad + (yu - xv) (dx \wedge du + dy \wedge dv)]; \end{aligned}$$

on constate que pour $\epsilon < 1/2$, $x^2 + y^2 + u^2 + v^2 < r^2$ assez petit et $\eta \ll r^2$, la forme $\hat{\omega}$ est proche de $2(dx \wedge dy + du \wedge dv)$, elle reste donc symplectique et la formule $(\mathbf{v}, \mathbf{w}) \mapsto \hat{\omega}(\mathbf{v}, J\mathbf{w}) + i\hat{\omega}(\mathbf{v}, \mathbf{w})$ définit une structure hermitienne définie positive. Par suite φ est strictement pluri-sous-harmonique au voisinage de 0.

D'autre part, le champ $\nabla\varphi$ se projette bien comme spécifié par le lemme. En effet, notant toujours $(x_1, x_2, x_3) = (2(xy - uv), 2(xv + uy), (x^2 + u^2) - (y^2 + v^2))$:

$$\begin{aligned} -\nabla\varphi &= 2x \cdot (x_3 g'(x_3) - 1 + g(x_3) + \epsilon) \partial_x \\ &\quad + 2y \cdot (-x_3 g'(x_3) - g(x_3) + \epsilon) \partial_y \\ &\quad + 2u \cdot (x_3 g'(x_3) - 1 + g(x_3) + \epsilon) \partial_u \\ &\quad + 2v \cdot (-x_3 g'(x_3) - g(x_3) + \epsilon) \partial_v ; \end{aligned}$$

si $\pi : \mathbb{R}^4 \setminus \{0\} \rightarrow \mathbb{R}^3 \setminus \{0\}$ est la projection définie par $\pi(\rho \cdot (z, w)) = \rho^2 \cdot h(z, w)$ ($\rho \in \mathbb{R}_+^*$, $(z, w) \in S^3$), alors $-\nabla\varphi$ est projeté par π sur le champ de vecteurs

$$d\pi \cdot -\nabla\varphi = 2(1 - 2\epsilon)x_1 \partial_{x_1} + 2(1 - 2\epsilon)x_2 \partial_{x_2}$$

$$-4(\epsilon x_3 + \rho^2 x_3 g'(x_3) + \rho^2 g(x_3) - (x^2 + u^2)) \partial_{x_3},$$

lequel est conjugué au gradient dans \mathbb{R}^3 de la fonction

$$(x_1, x_2, x_3) \mapsto -x_1^2 - x_2^2 + x_3^2.$$

◇

5.6 Fin du remplissage. Orthogonalité des formes ω et ω_0 hors d'un squelette ω -lagrangien

Revenant au remplissage global, nous pouvons supposer que tous les p_i , $1 \leq i \leq g$, sont au même niveau $c_1 > 0$ pour f , et que $f(p_0) = c_0 > c_1$. (0 est le niveau de Σ .) Choisissons de petites boules B_1, \dots, B_g, B_0 autour de ces points.

Le point \tilde{p}_0 est un point critique d'indice 0. En revanche, les \tilde{p}_i , $i \geq 1$, ne sont pas des points critiques non-dégénérés. Nous pourrions modifier F en une fonction de Morse pluri-sous-harmonique (*cf.* Biran [15]) pour décrire un complexe simplicial isotrope dans W ; mais il est plus simple de conserver F en l'état : près de \tilde{p}_i ($i \geq 1$), il existe deux disques lagrangiens $\Delta_1^{(i)}$ et $\Delta_2^{(i)}$ contenant \tilde{p}_i , transversalement attractants pour ∇F , préservés par ∇F , lequel est dilatant sur ces disques. En suivant les lignes de flot de ∇F , les bords $C_1^{(1)}, C_2^{(1)}, \dots, C_1^{(g)}, C_2^{(g)}$ de ces disques se retrouvent tous au bord de \tilde{B}_0 avant de s'évanouir en \tilde{p}_0 . Une perturbation générique de F assure que les disques d'écrasement en \tilde{p}_0 de ces cercles soient deux à deux transverses. (La figure ci-dessus représente le cas $g = 2$.)

D'où le résultat suivant :

Lemme 10 *Le remplissage W est rétracté par un champ de Liouville sur un bouquet en \tilde{p}_0 de g couples de sphères $S_1^{(i)} \cup S_2^{(i)}$, lagrangiennes (pour ω), s'intersectant transversalement en \tilde{p}_0 et en un unique autre point (\tilde{p}_i).*

Définition 11 *Le squelette S de W est la réunion des sphères $S_k^{(i)}$ ($1 \leq k \leq 2, 1 \leq i \leq g$). C'est une sous-variété immergée de W , ω -lagrangienne, à croisements normaux.*

En dehors de S , les lignes de gradient de F permettent de prolonger ω_0 en une structure symplectique qui reste orthogonale à ω .

Entre les niveaux 0 et $c_1 - \epsilon$ de F ($\epsilon > 0$ petit), nous avons dans W un collier $W_1 = Y \times [0, c_1 - \epsilon]$. Le gradient de F , $\xi = \nabla F$, est un champ de Liouville contractant pour ω ; notons λ la forme de Liouville $\xi \lrcorner \omega$.

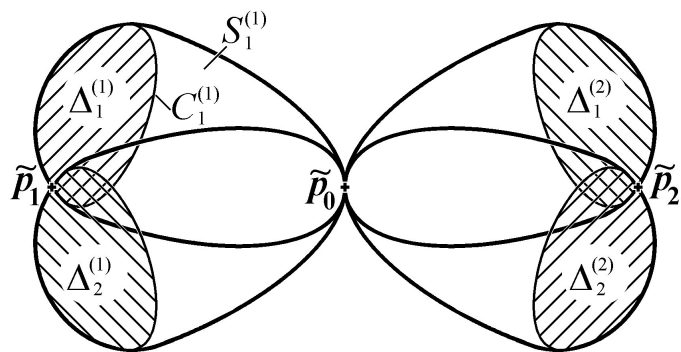


FIG. 1 – Squelette de W

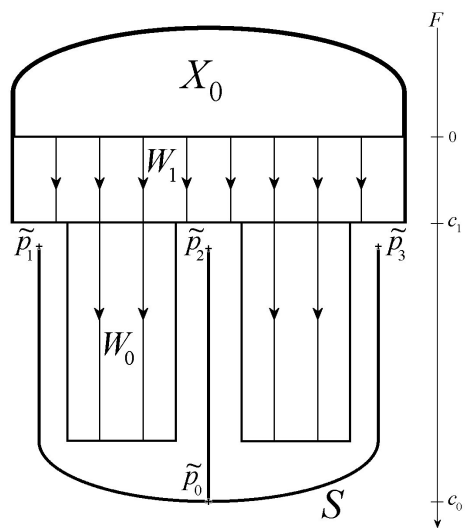


FIG. 2 – Extension de ω_0 à $\tilde{X} \setminus S$

Le long de Y , il existe une forme exacte λ_0 , de Liouville pour ω_0 , et un champ de Liouville ξ_0 (tel que $\lambda_0 = \xi_0 \lrcorner \omega_0$) multiple de ξ ; $\lambda_0|_Y$ définit alors un plan orthogonal à celui que définit λ . Prolongeons canoniquement λ_0 sur W_1 de telle sorte que λ_0 continue à s'annuler à la fois sur ξ et sur un plan orthogonal à celui que définit λ et à la fibration en cercles $W \rightarrow V$; ω_0 se prolonge alors sur W_1 par $\omega_0 = d\lambda_0$.

Le champ ξ , contractant pour ω , est *dilatant* pour ω_0 . La même construction peut aussi être poursuivie entre les niveaux $c_1 - \epsilon$ et $c_0 - \epsilon$ de F sur une partie W_0 de W qui est saturée par les lignes de gradient de F évitant les boules $\tilde{B}_1, \dots, \tilde{B}_g$; W_0 est le complémentaire d'un voisinage de S dans $F^{-1}([c_1 - \epsilon, c_0 - \epsilon])$.

Nous pouvons ainsi définir une forme ω_0 sur $\tilde{X} \setminus S$; il est certainement impossible de la prolonger à S . Par contre, la structure J , comme ω , se prolonge bien à \tilde{X} , ce qui permettra de parler ultérieurement de variétés ω_0 -lagrangiennes (là où ω_0 est défini) et dont le plan tangent est J -complexe le long de S .

Remarque : à partir d'un germe de complexification de la surface singulière S , la construction peut être réalisée de sorte que J soit intégrable au voisinage de S , ce que nous supposerons dorénavant.

Nous aurons besoin de la précision suivante sur le complexe S . Introduisons d'abord une définition :

Définition 12 *Nous dirons que N plans lagrangiens vectoriels $\Lambda_1, \dots, \Lambda_N$ de \mathbb{C}^2 muni de sa structure symplectique standard ω_0 sont en position élémentaire s'il existe des coordonnées unitaires (z, w) telles que pour $j = 1, \dots, N$, l'équation de Λ_j soit*

$$w = e^{\frac{2i(j-1)\pi}{N}} \bar{z}.$$

Lemme 13 *Le complexe S peut être choisi de sorte qu'il existe des coordonnées J -complexes en \tilde{p}_0 qui mettent les plans tangents en \tilde{p}_0 à S (i.e., aux sphères $S_{(i)}^k$) en position élémentaire.*

Nous pouvons choisir la fonction f pour que, en p_0 , les $2g$ trajectoires instables des points p_1, \dots, p_g aboutissent dans un même plan tangent de $T_{p_0}V$. Dans la sphère $S_{(0)}$ de dimension 3 autour de \tilde{p}_0 dans W , les cercles d'intersection des $S_{(i)}^k$ avec $S_{(0)}$, qui font partie d'une même fibration de Hopf, se projettent sur un même cercle de S^2 , et peuvent donc être déformés pour être mis en position élémentaire. \diamond

Remarque : en un point \tilde{p}_i ($i \geq 1$), il n'y a que deux plans lagrangiens transverses, tangents à S ; il est toujours possible de choisir des coordonnées symplectiques dans lesquelles ils aient pour équations $w = \bar{z}$ et $w = -\bar{z}$.

Si J est donnée, S peut aussi être déformée pour que tous ces points doubles soient en position élémentaire vis-à-vis de J .

6 Existence de surfaces lagrangiennes dans \tilde{X}

6.1 Sections asymptotiquement J -holomorphes

Soit X une variété compacte de dimension $2n$, munie d'un triplet compatible (J, \mathbf{g}, ω) avec ω symplectique et entière (*i.e.*, $[\omega]$ provient d'une classe entière en homologie), E un fibré complexe de rang r sur X muni d'une connexion hermitienne ∇^E , L un fibré en droites holomorphe sur X tel que $c_1(L) = [\omega] \in H^2(X; \mathbb{Z})$, et B une connexion hermitienne sur L de courbure $-2i\pi\omega$. (C'est avec ces signes que L est dit positif par rapport à J .) Pour tout $k \in \mathbb{N}^*$, B définit une connexion sur L^k de courbure $-2ik\pi\omega$, et, conjointement avec ∇^E , elle définit une connexion hermitienne sur $E \otimes L^k$ dont nous noterons ∇_k la dérivée covariante.

Suivant Donaldson [19] et Sikorav [56], nous convenons de mesurer les dérivées d'une section s de $E \otimes L^k$ en munissant X de la métrique $\mathbf{g}_k = k\mathbf{g}$; les longueurs mesurées par \mathbf{g} sont multipliées par \sqrt{k} quand on les mesure avec \mathbf{g}_k , ceci multiplie la norme des dérivées p -èmes de s et de $\bar{\partial}_J s$ par $k^{-p/2}$.

Définition 14 *Une suite de sections lisses $s_k \in \Gamma(E \otimes L^k)$ est dite asymptotiquement J -holomorphe (en abrégé J -a.h.) s'il existe une constante $C > 0$ telle que, pour tout $k \in \mathbb{N}^*$, $\|s_k\| \leq C$, $\|\bar{\partial}_J s_k\|_{C^1} \leq \frac{C}{\sqrt{k}}$.*

Définition 15 *Une suite de sections lisses $s_k \in \Gamma(E \otimes L^k)$, J -a.h., est dite uniformément transverse à la section nulle si, pour tout k assez grand, il existe une constante $\varepsilon > 0$ telle qu'en tout $x \in X$ tel que $\|s_k(x)\| \leq \varepsilon$, et que $\|\nabla_k s_k(x)\| \geq \varepsilon$.*

Donaldson démontre alors le théorème suivant [19] :

Soit X , (J, \mathbf{g}, ω) , E , L , ∇^E comme ci-dessus. Alors il existe une suite de sections $s_k \in \Gamma(E \otimes L^k)$ J -a.h. et uniformément transverse à la section nulle ; pour k assez grand, $Z_k = s_k^{-1}(0)$ est une sous-variété symplectique de X de codimension $2r$, dont la classe d'homologie est duale à $(k[\omega])^r + \sum_{i=1}^r c_i(E) \cdot (k[\omega])^{r-i}$.

Ce résultat est généralisé par Auroux [6] :

Soit $X, (J, \mathfrak{g}, \omega), E, L, \nabla^E$ comme ci-dessus, et une suite de sections $\sigma_k \in \Gamma(E \otimes L^k)$ J -a.h. Alors, pour k assez grand, (σ_k) peut être approchée au sens C^1 par une suite de sections $s_k \in \Gamma(E \otimes L^k)$ J -a.h. et uniformément transverse à la section nulle.

Par ailleurs, si $(J_t)_{t \in [0,1]}$ est un chemin de structures presque-complexes sur X compatibles avec ω , et $(\sigma_{k,t})$ une suite de chemins de sections J_t -a.h., dépendant continûment de t ainsi que leurs dérivées, alors on peut approcher celle-ci au sens C^1 par une suite de chemins de sections $s_{k,t} \in \Gamma(E \otimes L^k)$ J_t -a.h. et uniformément transverse à la section nulle : pour tout $\epsilon > 0$, il existe des constantes $\tilde{K} \geq K$ et $\delta > 0$, dépendant de ϵ , de la géométrie de X et des bornes des dérivées des $\sigma_{k,t}$, telles que pour tout $k > \tilde{K}$, (i) les sections $s_{k,t}$ et leurs dérivées dépendent continûment de t , (ii) pour tout $t \in [0, 1]$, $\|s_{k,t} - \sigma_{k,t}\| < \epsilon$, $\|\nabla_k s_{k,t} - \nabla_k \sigma_{k,t}\| < \epsilon$, (iii) pour tout $t \in [0, 1]$, la suite $(s_{k,t})$ est δ -uniformément transverse à 0.

Signalons aussi le résultat suivant de Donaldson et Sikorav [19, 56], en termes de courant, dans le cas où E est trivial :

Soit $s_k \in \Gamma(L^k)$ une suite de sections J -a.h. et uniformément transverse à la section nulle, et $Z_k = s_k^{-1}(0)$ pour tout k . Alors la suite des courants $\frac{1}{k}Z_k$ converge vers le dual de Poincaré de ω . Plus précisément, il existe une constante C telle que pour tout $\psi \in \Omega^{2n-2}(X)$ et tout $k \in \mathbb{N}^$,*

$$\left| \frac{1}{k} \int_{Z_k} \psi - \int_X \omega \wedge \psi \right| \leq \frac{C}{\sqrt{k}} \|d\psi\|_{L^\infty},$$

la norme $\|\cdot\|_{L^\infty}$ étant prise par rapport à \mathfrak{g} .

Dans l'usage que nous allons faire des familles asymptotiquement holomorphes, il sera pratique d'utiliser aussi les pincesaux de Lefschetz symplectiques [20] et les revêtements ramifiés symplectiques de $\mathbb{C}\mathbb{P}^2$ [7].

La proposition 6 de [20] implique le résultat suivant :

Théorème 16 *Pour tous réels $C, \eta > 0$ et tout entier k suffisamment grand, il existe des sections s_k^0, s_k^1 de L^k , C -bornées, satisfaisant aux conditions suivantes :*

- (i) s_k^0 est η -transverse à la section nulle de L^k ,
- (ii) (s_k^0, s_k^1) est η -transverse à la section nulle de $L^k \oplus L^k$,
- (iii) $\partial(s_k^1/s_k^0)$ est η -transverse à 0 sur le complémentaire de B , lieu des zéros communs à s_k^0 et à s_k^1 ,

et telles que $F = s_k^1/s_k^0$ définisse un faisceau topologique de Lefschetz de base B pour la structure $k\omega$.

Il est clair, d'après la démonstration de cette proposition par Donaldson, que pour chaque point x de X , il existe un tel pinceau pour lequel x soit un point-base.

Avec les sections (s_k^0, s_k^1, s_k^2) de $\mathbb{C}^3 \otimes L^k$, D.Auroux parvient à une description des variétés symplectiques comme revêtements ramifiés du plan projectif complexe :

Définition 17 Soit $\epsilon > 0$, U un voisinage d'un point x dans X , $\phi : U \rightarrow \mathbb{C}^2$ une carte locale complexe de classe C^1 , et J_0 la structure complexe canonique de \mathbb{C}^2 . L'on dit que ϕ est ϵ -approximativement holomorphe si $|\phi^* J_0 - J| \leq \epsilon$ en tout point de U . En d'autres termes, pour tout vecteur tangent \mathbf{v} , $|\bar{\partial}\phi(\mathbf{v})| \leq \frac{\epsilon}{2}|d\phi(\mathbf{v})|$.

Définition 18 Une application $f : X \rightarrow \mathbb{C}\mathbb{P}^2$ est dite localement et ϵ -holomorphiquement modelée en x sur une application $g : \mathbb{C}^2 \rightarrow \mathbb{C}^2$ s'il existe des voisinages U de x dans X et V de $f(x)$ dans $\mathbb{C}\mathbb{P}^2$, et des applications ϵ -approximativement holomorphes $\phi : U \rightarrow \mathbb{C}^2$ et $\psi : V \rightarrow \mathbb{C}^2$, de classe C^1 , telles que $f|_U = \psi^{-1} \circ g \circ \phi$.

Définition 19 Une application $f : X \rightarrow \mathbb{C}\mathbb{P}^2$ est un revêtement singulier ϵ -approximativement holomorphe, ramifié au-dessus d'une sous-variété R de X , si df est de rang réel 2 le long de R , surjective ailleurs, et si, en tout $x \in X$, elle est ϵ -holomorphiquement modelée sur l'une des applications suivantes :

- (i) $(z, w) \mapsto (z, w)$,
- (ii) $(z, w) \mapsto (z^2, w)$,
- (iii) $(z, w) \mapsto (z^3 - zw, w)$.

Nous écrivons en abrégé que $f : X \rightarrow \mathbb{C}\mathbb{P}^2$ est un revêtement J -a.h.s. s'il existe un ϵ tel que f soit un revêtement singulier ϵ -approximativement holomorphe.

(Nous parlerons de surface ϵ -approximativement holomorphe pour l'image réciproque par un tel revêtement d'une courbe holomorphe de $\mathbb{C}\mathbb{P}^2$.)

Rappelons alors le premier théorème obtenu par Auroux dans [7] : toute variété symplectique compacte (X, ω) de dimension 4 peut être réalisée symplectiquement comme un revêtement de $\mathbb{C}\mathbb{P}^2$ ramifié le long d'une courbe symplectique lisse R dans X , se projetant sur $\mathbb{C}\mathbb{P}^2$ en une surface dont les seules singularités sont des points doubles à croisements normaux et

des points cuspidaux (de première espèce). De plus, pour toute structure presque-complexe adaptée à ω sur X et tout $\epsilon > 0$, nous pouvons demander que l'application de revêtement soit ϵ -approximativement holomorphe.

Plus précisément (et en ajoutant un paramètre) :

Soit (X, ω) une variété symplectique compacte de dimension 4, $(J_t)_{t \in [0,1]}$ une famille de structures presque-complexes sur X , compatible avec ω , L un fibré en droites holomorphe sur X tel que $c_1(L) = [\omega]$, et, pour tout k entier suffisamment grand, $(\sigma_{k,t})_{k,t \in [0,1]}$ une famille de suites de sections J_t -a.h. de $\mathbb{C}^3 \otimes L^k$, telle que les $\sigma_{k,t}$ et leurs dérivées dépendent continûment de t .

Alors, pour tout $\epsilon > 0$ fixé, il existe (pour k assez grand) une famille $(s_{k,t})_{k \gg 0, t \in [0,1]}$ de suites de sections J_t -a.h. de $\mathbb{C}^3 \otimes L^k$, ne s'annulant nulle part, dépendant continûment de t , vérifiant

$$\forall t \in [0, 1], \|s_{k,t} - \sigma_{k,t}\|_{C^3, \mathfrak{g}_k} \leq \epsilon,$$

et telle que, pour tout t , $s_{k,t}$ définisse un revêtement ramifié $X \rightarrow \mathbb{C}\mathbb{P}^2$, J_t -a.h.s.

La version à t fixe donne une suite (indexée par l'entier k) de revêtements $\pi_k : X \rightarrow \mathbb{C}\mathbb{P}^2$, J -a.h.s. (Ceci montre aussi que l' ϵ du théorème est en $O(1/\sqrt{k})$.)

D. Auroux montre comment l'on retrouve des pinceaux à partir de là : pour k assez grand, on peut perturber (s_k^0, s_k^1) , extrait du triplet (s^0, s^1, s^2) , et obtenir un faisceau.

6.2 Plans lagrangiens et formes lagrangiennes

L'objet de cette section est d'établir quelques lemmes auxquels nous ferons appel dans la construction ultérieure.

1)

Lemme 20 *Soit une collection Λ de N plans tangents lagrangiens $\Lambda_1, \dots, \Lambda_N$ en un point d'un plan complexe hermitien, transverses deux à deux et en position élémentaire (p.19). Il existe $2N$ plans complexes $\Pi_1, \Pi_2, \dots, \Pi_{2N-1}, \Pi_{2N}$ tels que pour tout $i \in \{1, \dots, N\}$, Π_{2i-1} et Π_{2i} soient transverses à Λ_i avec des signes d'intersection opposés, et transverses aux Λ_j , $j \neq i$ avec le même signe d'intersection. De plus, soit Π la réunion des Π_i ; alors, dans*

tout voisinage de Π , il existe une courbe complexe lisse désingularisant Π évitant Λ .

Il suffit de le démontrer dans \mathbb{C}^2 muni de sa métrique hermitienne canonique.

Un plan Λ d'équation $\{w = a\bar{z} + bz\}$ dans \mathbb{C}^2 est lagrangien si, et seulement si $|a|^2 - |b|^2 = 1$. Une droite complexe d'équation $\{w = cz\}$ est alors transverse à Λ si, et seulement si $|b - c| \neq |a|$; le signe de l'intersection est égal à plus ou moins le signe de $|b - c| - |a|$ selon l'orientation de Λ . Deux plans lagrangiens Λ_1 et Λ_2 , d'équations respectives $\{w = a_1\bar{z} + b_1z\}$ et $\{w = a_2\bar{z} + b_2z\}$, sont transverses si, et seulement si $\Re(\overline{a_1}a_2 - \overline{b_1}b_2) \neq 1$.

Dans notre cas, Λ_j a pour équation $w = a_j\bar{z}$, avec $a_j = e^{2i(j-1)\pi/N}$. Considérons les plans $\Pi_j = \{(z, w) \in \mathbb{C}^2 \mid w = c_kz\}$, $k = 1, \dots, 2N$, où $c_k = e^{i(k-1)\pi/N}$. La désingularisation de la réunion des Π_j retenue est alors la courbe d'équation

$$w^{2N} - z^{2N} = \varepsilon \quad (\varepsilon > 0). \diamond$$

2) Nous ferons appel plus tard à un énoncé d'approximation de variétés lagrangiennes, vues comme des courants, par des formes différentielles lagrangiennes (*i.e.*, orthogonales à ω_0) :

Lemme 21 *Soit (W_0, ω_0) une variété symplectique de dimension $2n$, et $V \subset W_0$ une sous-variété lagrangienne, compacte, orientée de W_0 . Alors, pour toute métrique riemannienne sur W_0 , pour tout $\varepsilon > 0$ et tout voisinage U de V d'ordre ε , il existe une constante $C > 0$ et une n -forme différentielle α de classe C^∞ sur W_0 , fermée, à support dans U , telle que $\alpha \wedge \omega_0 = 0$, et que, pour toute n -forme φ sur W_0 , on ait*

$$\left| \int_{W_0} \alpha \wedge \varphi - \int_V \varphi \right| \leq C\varepsilon \|\varphi\|_1,$$

où $\|\cdot\|_1$ désigne la norme C^1 . De plus, le courant que définit α est homologue au courant T d'intégration sur V .

Remarque : autrement dit, le courant T d'intégration sur V est limite de courants diffus et lagrangiens.

Suivons le procédé de régularisation du §15 du livre de de Rham [51] en l'adaptant au cadre symplectique :

Premièrement. Sur \mathbb{R}^{2n} , pour $\varepsilon < \frac{1}{2}$, donnons-nous une famille de difféomorphismes symplectiques $s_{\mathbf{y}}$ ($\mathbf{y} \in B^{2n}(0; \varepsilon)$, la boule de centre 0 et de rayon ε dans \mathbb{R}^{2n}), dépendant de manière C^∞ de \mathbf{y} , qui coïncident avec la famille des translations par \mathbf{y} sur la boule $B^{2n}(0; \varepsilon)$ et avec l'identité hors de

$B^{2n}(0; 1)$ (une telle famille se construit au moyen d'une famille de fonctions génératrices, cf. [44]).

Nous nous donnons aussi une fonction C^∞ $f \geq 0$, à support dans $B^{2n}(0; \varepsilon)$, d'intégrale 1, et nous considérons sur les formes différentielles l'opération de moyennisation

$$R^* \varphi = \int_{\mathbb{R}^{2n}} s_{\mathbf{y}}^*(\varphi) f(\mathbf{y}) d\mathbf{y}.$$

Cet opérateur agit aussi sur les courants par la formule

$$(RT)(\varphi) = T(R^* \varphi).$$

Les démonstrations des propositions 1 ([51], p. 77) et 2 ([51], p. 78) montrent que R commute à l'opérateur d et envoie les courants C^∞ sur des courants C^∞ et les courants quelconques à support dans $B^{2n}(0; \varepsilon)$ sur des courants C^∞ .

Deuxièmement. Recouvrons W_0 au voisinage de U par une collection finie de cartes de Darboux $\varphi_i : B_i(1) \rightarrow W_0$ telles que les $\varphi_i(B_i(\varepsilon))$ forment encore un recouvrement de W_0 au voisinage de U . Notons R_i l'opérateur de régularisation transporté de R sur $U_i = \varphi_i(B_i(1))$. À l'aide d'une partition de l'unité, nous voyons que le produit $R_1 \circ R_2 \circ \dots \circ R_N$ de tous les opérateurs R_i , encore noté R , satisfait à la propriété suivante : pour tout courant T tel que $T \wedge \omega_0 = 0$, RT est de classe C^∞ , à support dans U , et $(RT) \wedge \omega_0$ est encore nul.

La forme $\alpha = RT$ ainsi définie est fermée, R commutant avec d . L'estimation sur les normes est celle qu'établit de Rham. \diamond

Remarque : Du lemme précédent, nous déduisons que pour toute sous-variété à bord τ , de dimension n , compacte, plongée dans W et transverse à V , l'intégrale $\int_\tau \alpha$ tend vers le nombre algébrique d'intersection de V avec τ quand ε tend vers 0.

Nous aurons aussi besoin du raffinement suivant :

Lemme 22 *En dimension $2n = 4$, avec les hypothèses et notations du lemme précédent, supposons qu'il existe une structure presque-complexe J , compatible avec ω (telle que $\omega \wedge \omega_0 = 0$) et que V soit J -holomorphe. Alors on peut s'arranger pour que la 2-forme α donnée par le lemme précédent soit adaptée à J , i.e., que $\alpha(J\mathbf{x}, \mathbf{y})$ soit une forme symétrique en \mathbf{x} et \mathbf{y} le long de V .*

Soit g la métrique compatible déterminée par J et ω , et $\Omega = \omega \wedge \omega$. Un voisinage (suffisamment petit) de V dans W_0 s'identifie à un voisinage de

la section nulle dans T^*V de manière à ce que les fibres soient des droites J -complexes le long de V .

Notons ς la symétrie de T^*V par rapport à V (la section nulle). Reprenant les notations de la démonstration du lemme 21, dans le cas de \mathbb{R}^n , les difféomorphismes $s_{\mathbf{y}}$ peuvent être choisis de telle sorte que pour tous \mathbf{x} , \mathbf{y} , nous ayons $s_{\varsigma\mathbf{y}}(\varsigma\mathbf{x}) = \varsigma(s_{\mathbf{y}}(\mathbf{x}))$, et la fonction f telle que pour tout \mathbf{y} , $f(\varsigma\mathbf{y}) = f(\mathbf{y})$. Alors $R^*\varsigma^* = \varsigma^*R^*$. Cette propriété se maintient lorsque R est construit globalement sur W_0 au voisinage de U , comme composée des R_i .

Soit maintenant $\alpha = RT$, et notons \mathbf{u} le champ de bivecteurs tel que $\alpha = \mathbf{u} \lrcorner \Omega$. La commutation avec ς assure qu'en chaque point de V , \mathbf{u} est invariant par ς ; cela signifie que \mathbf{u} s'écrit comme la somme d'un bivecteur tangent à V et d'un bivecteur normal à V . Un tel bivecteur est J -invariant par construction, d'où le lemme. \diamond

3) Enfin rappelons une notion d'algèbre linéaire utilisée par Donaldson [19]. Dans \mathbb{C}^n muni de sa métrique euclidienne canonique et de sa forme symplectique ω standard, soit \mathbf{G} la grassmannienne des $(2n-2)$ -plans réels orientés. Sur chaque $\Pi \in \mathbf{G}$, la métrique euclidienne canonique définit une forme volume Ω_Π .

Définition 23 *L'angle de Kähler $\theta : \mathbf{G} \rightarrow [0, \pi]$ est défini pour tout $\Pi \in \mathbf{G}$ par*

$$\theta(\Pi) = \arccos\left(\frac{1}{(n-1)!} \frac{\omega_{|\Pi}^{n-1}}{\Omega_\Pi}\right).$$

Le nombre θ est une mesure intrinsèque de l'écart aux plans complexes. L'ensemble des $(2n-2)$ -plans orientés Π qui sont symplectiques est égal à $\theta^{-1}([0, \pi/2[)$.

Ainsi, pour une variété symplectique (X, ω) munie d'une structure presque-complexe compatible avec ω , et Y une sous-variété orientée de codimension 2 de X , nous pouvons définir en tout $y \in Y$ un angle $\theta_y(Y)$. Pour revenir à notre situation, Donaldson [19] démontre l'existence d'une constante C telle que, pour tout k , les Z_k donnés par ses théorèmes vérifient

$$\theta_z(Z_k) \leq \frac{C}{\sqrt{k}}$$

pour tout $z \in Z_k$.

6.3 Précisions lagrangiennes

Dorénavant, sauf mention contraire, nous nous placerons en dimension $2n = 4$. Dans le cas particulier où l'on considère des structures symplectiques orthogonales à ω_0 , nous allons chercher à construire des surfaces ω_0 -lagrangiennes et ω -symplectiques là où Donaldson et Auroux obtenaient des surfaces ω -symplectiques, comme lieux d'annulation de sections asymptotiquement J -holomorphes.

Rappelons le décor : (\tilde{X}, ω) est une variété symplectique fermée de dimension 4, ω étant à périodes entières ; L un fibré en droites holomorphe sur \tilde{X} tel que $c_1(L) = [\omega] \in H^2(X; \mathbb{Z})$; S une surface ω -lagrangienne immergée à croisements normaux ; et ω_0 une forme symplectique exacte sur $\tilde{X} \setminus S$, orthogonale à ω (i.e., $\omega \wedge \omega_0 = 0$).

1)

Lemme 24 *Donnons nous une suite de sections $\sigma_k \in \Gamma(L^k)$ J -a.h. et uniformément transverse à la section nulle, et un réel $\eta > 0$. Il existe une suite, J -a.h. et uniformément transverse à la section nulle, de sections $s_k \in \Gamma(L^k)$, C^0 -proches de σ_k à l'ordre $O(1/\sqrt{k})$ et η -proches de σ_k au sens C^1 , telles que, pour k assez grand, $\Sigma_k = s_k^{-1}(0)$ soit lagrangienne pour ω_0 sur $\tilde{X} \setminus S$, J -holomorphe au voisinage de S et homologue au dual de Poincaré de $k[\omega]$.*

Commençons par appliquer les résultats de Donaldson et d'Auroux dans le cas où E est trivial de rang 1 : soit σ_k une suite de sections J -a.h. et ε -uniformément transverse à la section nulle, telle que $Z_k = \sigma_k^{-1}(0)$ soit uniformément transverse à S pour k assez grand. (Rappelons que, aussi sur les Z_k , nous utilisons les métriques \mathbf{g}_k .) Pour chaque k assez grand, perturbons σ_k à l'ordre $1/\sqrt{k}$ au sens C^0 et en $o(\varepsilon)$ au sens C^1 de manière à rendre Z_k transverse à S . Toujours pour k assez grand, une perturbation du même type assure que les plans tangents à Z_k aux points de $Z_k \cap S$ sont J -complexes, et une seconde perturbation garantit alors que Z_k est J -holomorphe (donc ω_0 -lagrangienne) au voisinage de S . Notons aussi que la courbure de Gauss et la courbure moyenne de Z_k sont bornées indépendamment de k [56].

Comme $\|\nabla_k \sigma_k\|$ est minorée par ε et que $\|\nabla_k^2 \sigma_k\|$ est majorée (indépendamment de k), il existe un $\delta > 0$ tel que ω_0 admet une carte de Darboux sur toute boule de rayon δ , donnée par une forme de Liouville λ_0 (primitive de ω_0), identiquement nulle sur un disque ω_0 -lagrangien D_0 , et que, pour tout k et tout $z \in Z_k$, l'intersection de Z_k avec la boule de centre z et de rayon δ dans \tilde{X} est un disque correspondant au graphe d'une 1-forme différentielle

sur D_0 .

Soit $k > 1/\delta^2$, décomposons Z_k par des triangles τ de diamètres inférieurs à δ (toujours pour la métrique \mathbf{g}_k). Et rendons J -holomorphe le plan tangent à Z_k aux sommets du complexe formé par les τ , en ne déformant Z_k qu'à l'ordre $O(1/\sqrt{k})$.

Sur chaque triangle τ , nous avons l'égalité $\int_{\partial\tau} \lambda_0 = \int_{\tau} \omega_0$.

Démontrons d'abord que l'on peut déformer par isotopie la variété Z_k le long des arêtes de la triangulation choisie, sans toucher aux plans tangents des sommets, en ne modifiant les plans tangents le long des arêtes qu'à l'ordre $O(1/\sqrt{k})$ au sens C^0 et ε au sens C^1 , afin d'annuler les intégrales $\int_{\partial\tau} \lambda_0$ pour tous les triangles τ .

Il existe une 1-forme différentielle μ_0 sur $\tilde{X} \setminus S$ telle que $d\mu_0 = \omega_0$, ce qui assure l'existence d'une constante C_0 telle que pour toute 2-chaîne singulière T sur Z_k on ait

$$\left| \int_T \omega_0 \right| = \left| \int_{\partial T} \mu_0 \right| \leq \frac{C_0}{\sqrt{k}} \|\partial T\|$$

où $\|\partial T\|$ désigne la longueur de la courbe ∂T pour \mathbf{g}_k . Notons $[\omega_0]_{\tau}$ le 2-cocycle simplicial donné par l'intégration de ω_0 sur le complexe simplicial (τ) ; d'après [57], le théorème de Hahn-Banach fournit une 1-cochaîne simpliciale c_0 pour (τ) telle que $dc_0 = [\omega_0]_{\tau}$, et telle que pour toute arête a de (τ) on ait

$$|c_0(a)| \leq \frac{C_0}{\sqrt{k}} \|a\|$$

De plus, comme la courbure de Z_k est bornée, on en déduit

$$|c_0(a)| \leq \frac{CC_0\delta}{\sqrt{k}}$$

En décomposant $\partial\tau = a - b + c$ suivant les trois côtés de τ , on a

$$\int_{\partial\tau} \lambda_0 = c_0(a) - c_0(b) + c_0(c).$$

Le long de l'arête a , considérons une surface A J_0 -holomorphe tangente à a ; puisque ω_0 donne une forme d'aire contrôlée par g_0 sur A , il est possible de trouver un chemin \tilde{a} dans A proche de a à l'ordre $O(1/\sqrt{k})$ au sens C^0 et ε au sens C^1 , coïncidant avec a près des extrémités de sorte que l'aire balayée dans A satisfasse à

$$\int_a \lambda_0 - \int_{\tilde{a}} \lambda_0 = c_0(a).$$

On procède de même pour toutes les arêtes. Comme J et J_0 sont orthogonales, les surfaces A et Z_k sont suffisamment transverses pour qu'on puisse prolonger la déformation des arêtes en une isotopie de Z_k , sans changer la propriété de graphe par rapport à λ_0 . On obtient ainsi de nouveaux triangles $\tilde{\tau}$.

De plus

$$\int_{\tilde{\tau}} \omega_0 = \int_{\partial\tilde{\tau}} \lambda_0 = \int_{\partial\tau} \lambda_0 - (c_0(a) - c_0(b) + c_0(c)) = 0.$$

Nous déformons ensuite la surface Z_k sans modifier davantage le 1-squelette de $(\tilde{\tau})$:

Donnons-nous un triangle $\tilde{\tau}$, et s un point de Z_k extérieur aux arêtes de $\tilde{\tau}$, centre d'une boule de rayon δ contenant $\tilde{\tau}$. La surface peut être vue comme le graphe d'une 1-forme α au-dessus d'un ouvert de \mathbb{R}^2 , et, par nullité de $\int_{\partial\tilde{\tau}} \lambda_0$, il existe un petit anneau au-dessus duquel α est exacte, égale à une différentielle df . Par ailleurs, α admet une décomposition sous la forme $d\varphi + d^*\psi$, unique si nous imposons que $\varphi = f$ le long des arêtes. Comme, par ailleurs, $\|d\alpha\| = \|dd^*\psi\|$ est majorée par C'/\sqrt{k} , il s'ensuit que $\|d\varphi - \alpha\| = \|d^*\psi\|$ est également majorée par C''/\sqrt{k} , où C'' est encore une constante indépendante de k .

Remplaçons alors le graphe de α à l'intérieur de $\tilde{\tau}$ par celui de $d\varphi$, ce qui transforme le triangle $\tilde{\tau}$ en un triangle $\tilde{\tau}'$ lagrangien. Puis modifions encore un peu la surface au voisinage des arêtes, de manière $\frac{C}{\sqrt{k}}$ -proche, afin de la rendre lisse et J -holomorphe sur le 1-squelette de la nouvelle triangulation.

Finalement, il existe une structure presque-complexe \tilde{J}_k , $\frac{C}{\sqrt{k}}$ -proche au sens C^0 de J , coïncidant avec J dans un petit voisinage de S , et telle que la déformée de Z_k reste ω_0 -lagrangienne et \tilde{J} -holomorphe. Les estimations sur la déformation de Z_k permettent de déformer les sections σ_k en des sections s_k possédant les propriétés requises pour le lemme 24. \diamond

2)

Lemme 25 *Donnons-nous une collection finie de points $s_i \in S$ et, pour chaque i , une famille finie de droites J -complexes $F_i^{(j)}$ de $T_{s_i}W$, deux à deux transverses, ainsi qu'une famille de suites de sections $\{\sigma_{i,k}^{(j)}\}$ de L^k , J -a.h., uniformément transverses à la section nulle, telles que pour tous i et j , $\sigma_{i,k}^{(j)}$ s'annule en s_i , et que $F_i^{(j)}$ soit le plan tangent en s_i à $(\sigma_{i,k}^{(j)})^{-1}(0)$.*

Alors, pour tout $\epsilon > 0$, il existe un entier K tel que pour tout $k \geq K$, il existe une collection $\{s_{i,k}^{(j)}\}$ de sections de L^k , J -a.h. et uniformément transverses à la section nulle, J -holomorphes au voisinage de S , ω -symplectiques, ω_0 -lagrangiennes sur $\tilde{X} \setminus S$, C^0 -proches des $\sigma_{i,k}^{(j)}$ à l'ordre $O(1/\sqrt{k})$ et ϵ -proches des $\sigma_{i,k}^{(j)}$ au sens C^1 (pour \mathfrak{g}_k), telles que pour tous i et j , $s_{i,k}^{(j)}(s_i) = 0$ et $F_i^{(j)}$ soit le plan tangent en s_i à $(s_{i,k}^{(j)})^{-1}(0)$.

Cela résulte de l'existence de pinceaux de Lefschetz (théorème 16) et du lemme 24, compte tenu de la possibilité d'imposer les plans tangents aux points marqués. \diamond

Définition 26 *L'on dira (de manière laconique) qu'une surface Σ est ω -holomorphe et ω_0 -lagrangienne, en abrégé (ω, ω_0) -h.l., si elle est lagrangienne pour ω_0 sur $\tilde{X} \setminus S$ et s'il existe une structure presque-complexe \tilde{J} sur \tilde{X} , compatible avec ω et coïncidant avec J au voisinage de S , telle que Σ soit \tilde{J} -holomorphe.*

Lemme 27 *Soit $\tilde{\Sigma}$ une surface (ω, ω_0) -h.l., \tilde{J} -holomorphe dans \tilde{X} , qui intersecte S transversalement en N points réguliers s_1, \dots, s_N et en M points singuliers s_{N+1}, \dots, s_{N+M} . Il existe un réel $r > 0$ tel que les disques D_1, \dots, D_N de centres les s_i ($1 \leq i \leq N$) et de rayon r soient disjoints, et que, pour tout $(s'_1, \dots, s'_N) \in \prod_{i=1}^N D_i$, $\tilde{\Sigma}$ puisse être déformée en une surface $\tilde{\Sigma}'$, (ω, ω_0) -h.l., vérifiant les propriétés suivantes :*

- $\tilde{\Sigma}' \cap S$ est exactement égale à $\{s'_1, \dots, s'_N, s_{N+1}, \dots, s_{N+M}\}$,
- les signes d'intersection avec S aux points s'_1, \dots, s'_N sont inchangés,
- les plans tangents aux points s_{N+1}, \dots, s_{N+M} sont inchangés.

Cela résulte aisément de la paramétrisation des variétés ω_0 -lagrangiennes C^1 -proches de $\tilde{\Sigma}$ par des formes différentielles fermées sur $\tilde{\Sigma}$. \diamond

7 Disjonction lagrangienne

Les courbes \tilde{J} -holomorphes données par les propositions ci-dessus ne peuvent, *a priori*, être extraites de la partie W de \tilde{X} . Pour construire à partir de ces courbes une surface lagrangienne pour ω_0 qui ne rencontre pas W , nous allons adapter une construction de J. Duval [24].

7.1 Lemmes de disjonction locale

Dans les articles de Lalonde et Sikorav [40] et de Polterovich [50] est démontré le résultat suivant :

Soient Σ, Σ' deux sous-variétés lagrangiennes, fermées, orientées d'une variété symplectique X de dimension 4, qui s'intersectent transversalement en m points x_1, \dots, x_m , de telle sorte que l'indice d'intersection $\iota_{x_j}(\Sigma, \Sigma')$ soit égal à $+1$ pour tout j . Alors il existe une sous-variété (lisse, fermée, orientée) $\tilde{\Sigma}$, lagrangienne, arbitrairement proche de $\Sigma \cup \Sigma'$, telle que $[\tilde{\Sigma}] = [\Sigma] + [\Sigma'] \in H_2(X; \mathbb{Z})$.

De ce résultat et de [22], lemme (2.10) se déduit facilement le lemme suivant :

Lemme 28 *Soit $\tilde{\Sigma}$ une surface immergée (ω, ω_0) -h.l. (\tilde{J} -holomorphe) dans \tilde{X} qui intersecte S dans un voisinage U d'un point régulier s en exactement un point avec deux plans tangents donnant des signes d'intersection opposés, et qui coupe S transversalement par ailleurs. Alors, si U est assez petit, on peut modifier \tilde{J} en une structure \tilde{J}' compatible avec ω de manière C^0 -arbitrairement petite, coïncidant avec J au voisinage de S , et déformer par chirurgie $\tilde{\Sigma}$ en une surface $\tilde{\Sigma}'$, (ω, ω_0) -h.l. (\tilde{J}' -holomorphe), ne rencontrant plus S dans U , sans changer les intersections géométriques par ailleurs.*

Remarque : la même construction, jointe au lemme 20, permet d'éliminer les intersections près d'un point singulier de S (puisque celui-ci est élémentaire au sens de la définition 12) lorsqu'en ce point, les plans tangents de $\tilde{\Sigma}$ sont convenablement choisis : le lemme 20 réalise la chirurgie locale de manière J -holomorphe près du point, et l'on recolle grâce au lemme (2.10) de [22].

7.2 Construction d'une surface lagrangienne disjointe de S

Nous allons construire une surface (ω, ω_0) -h.l., homologue au dual de Poincaré d'un multiple de ω , et disjointe de S .

Étendant une notion utilisée par J. Duval dans le cadre des courbes holomorphes, introduisons d'abord la définition suivante :

Définition 29 *Soit $\tilde{\Sigma}$ une surface (ω, ω_0) -h.l. dans \tilde{X} qui intersecte S transversalement en N points réguliers s_1, \dots, s_N et en M points singuliers s_{N+1}, \dots, s_{N+M} ; un nombre réel $r > 0$ fixé; et D_i ($1 \leq i \leq N$) le disque de S de centre s_i et de rayon r (pour la métrique induite par ω et \tilde{J}). On dit que $\tilde{\Sigma}$ est r -souple si les D_i sont disjoints, à une distance supérieure ou égale à r de tous les points singuliers de S , et si, pour tout $(s'_1, \dots, s'_N) \in \prod_{i=1}^N D_i$, $\tilde{\Sigma}$ peut être déformée de sorte que $\tilde{\Sigma} \cap S$ soit exactement égal à $\{s'_1, \dots, s'_N, s_{N+1}, \dots, s_{N+M}\}$, en gardant $\tilde{\Sigma}$ (ω, ω_0) -h.l., et sans modifier les*

signes d'intersection dans les D_i ($1 \leq i \leq N$), ni les plans tangents aux points s_i ($N + 1 \leq i \leq N + M$).

Le lemme suivant affirme l'existence de telles surfaces intersectant S en chaque cellule d'une triangulation assez fine :

Lemme 30 *Pour $m \in \mathbb{N}$ assez grand, il existe un réel $r > 0$, une triangulation (τ) de S dont les triangles sont de diamètre inférieur à r , et une structure presque-complexe \tilde{J} , $O(1/\sqrt{m})$ -proche de J , coïncidant avec J au voisinage de S , tels que pour chaque triangle τ , on ait deux surfaces (ω, ω_0) -h.l., $2r$ -souples, obtenues par des sections transverses de L^m , qui coupent ce triangle avec des signes d'intersection opposés, et, pour chaque point singulier de S , un nombre fini de surfaces (ω, ω_0) -h.l., $2r$ -souples, avec des droites tangentes J -holomorphes imposées en ce point.*

Partons d'un revêtement ramifié $f_m : \tilde{X} \rightarrow \mathbb{CP}^2$ comme celui que donne le théorème d'Auroux (p.23), de lieu singulier $R_m \subset \tilde{X}$ (R_m J -a.h. plongé). Nous prenons soin que les singularités de S restent loin de R_m , que R_m coupe S transversalement, et que $f_m(S \setminus (R_m \cap S))$ soit immergé à croisements normaux.

Commençons par considérer un point $s_0 \in R_m \cap S$: il existe des coordonnées locales (z_1, z_2) centrées en s_0 dans \tilde{X} et des coordonnées locales (w_1, w_2) centrées en $f_m(s_0)$ dans \mathbb{CP}^2 , telles que $f_m(z_1, z_2) = (z_1^2, z_2)$; dans ces coordonnées, R_m coïncide avec l'axe $z_1 = 0$. Les coordonnées peuvent être choisies pour que le plan tangent en s_0 à S ait pour équation $z_2 = a\bar{z}_1$ avec $|a| = 1$.

Les deux coniques d'équations $w_1 = 4w_2^2$ et $w_1 = \frac{1}{4}w_2^2$ se relèvent par f_m en deux surfaces symplectiques Σ' et Σ'' , qui donnent près de s_0 quatre branches $z_1 = \pm 2z_2$ et $z_2 = \pm 2z_1$, dont deux coupent S positivement et deux négativement.

Une petite perturbation (lemme 27) et une désingularisation hors de S fournissent une surface Σ_0 qui coupe S près de s_0 en deux points s'_0 et s''_0 , avec, en chacun de ces points, des branches d'intersections positive et négative. Il existe $r_0 > 0$ tel que Σ_0 soit r_0 -souple ; pour chaque $s_0 \in R_m \cap S$, nous considérons deux triangles équilatéraux sur S , de diamètre r_0 , centrés respectivement en s'_0 et s''_0 , ayant un côté commun centré en s_0 .

Dans la suite, U désigne la réunion des losanges sur S centrés aux points de $R_m \cap S$, de diamètre $2r_0$, construits comme ci-dessus.

Pour tout $\theta \in \mathbf{H} = (\mathbb{CP}^2)^*$, soit D_θ la droite complexe de \mathbb{CP}^2 définie par θ , et $\Sigma_m^{(\theta)}$ l'image réciproque de D_θ par f_m . Chaque surface $\Sigma_m^{(\theta)}$ est symplectique et lisse hors de $\Sigma_m^{(\theta)} \cap R_m$.

Notons $\mathbf{T}^{(m)}$ (respectivement $\mathbf{H}_s^{(m)}$) l'ensemble des $\theta \in \mathbf{H}$ pour lesquels $\Sigma_m^{(\theta)}$ n'est pas transverse à S (respectivement, passe par un point s donné dans S). Pour chaque point s de $S \setminus U$, considérons l'application τ_s de $S \setminus \{s\}$ dans \mathbf{H} qui à t associe la droite $(f_m(s)f_m(t))$ lorsque $f_m(s) \neq f_m(t)$, et la tangente à la branche de $f_m(t)$ dans $f_m(S)$ lorsque $f_m(s) = f_m(t)$. L'intersection de $\mathbf{T}^{(m)}$ avec $\mathbf{H}_s^{(m)}$ est l'ensemble des valeurs critiques de τ_s .

Par le théorème de Sard, $\mathbf{T}^{(m)} \cap \mathbf{H}_s^{(m)}$ est de mesure nulle dans $\mathbf{H}_s^{(m)}$; $\mathbf{T}^{(m)}$ possède donc une base de voisinages dans \mathbf{H} dont l'intersection avec $\mathbf{H}_s^{(m)}$ peut être rendue de mesure aussi petite que l'on veut, uniformément en s sur $S \setminus U$.

Définissons, en chaque $s \in S$, \mathbf{H}_s^+ (respectivement \mathbf{H}_s^-) comme le sous-ensemble des points de $\mathbf{H}_s^{(m)}$ où $\Sigma_m^{(\theta)}$ coupe S positivement (resp. négativement). Comme S est totalement réelle, ces deux espaces sont de mesure non nulle, minorée uniformément sur $S \setminus U$; nous pouvons donc trouver un voisinage \mathbf{V} de $\mathbf{T}^{(m)}$ dans \mathbf{H} , de mesure assez petite pour que $\mathbf{T}^{(m)} \setminus \mathbf{V}$ rencontre \mathbf{H}_s^+ et \mathbf{H}_s^- en tout $s \in S \setminus U$. En dehors de \mathbf{V} , nous disposons de bornes *a priori* sur le nombre de points de $\Sigma_m^{(\theta)} \cap S$ et sur le minimum de leurs distances mutuelles. En vertu des lemmes 24 et 27, il existe un réel $r > 0$ tel que $\Sigma_m^{(\theta)}$ soit r -souple sur $S \setminus U$.

Pour conclure, choisissons une triangulation de maille inférieure à r et à r_0 pour U , ainsi que des surfaces $\Sigma_m^{(\theta)}$ et Σ_0 pour U en nombre suffisant. Il suffit alors de déformer le tout avec le lemme 25 pour obtenir des surfaces (ω, ω_0) -h.l. satisfaisant aux propriétés du lemme. \diamond

De plus, nous pouvons supposer qu'aux points singuliers de S , les surfaces données par le théorème soient tangentes à des droites J -complexes désingularisables au sens du lemme 20. Appelons Σ_1 la réunion de toutes ces surfaces.

Pour chaque triangle τ et pour Σ_j ($j \in I$) une surface fermée orientée immergée dans \tilde{X} intersectant S transversalement, nous noterons $p_j(\tau)$ (respectivement $n_j(\tau)$) le nombre de points d'intersection positive (respectivement négative) de Σ_j avec τ , et $i_j(\tau) = p_j(\tau) - n_j(\tau)$. C'est un 2-cocycle car S est fermée de dimension 2, et c'est un 2-cobord dès que les classes d'homologie de Σ_j et de S ont un nombre total d'intersection égal à 0; ce qui sera notre cas puisque l'intégrale de ω sur S est nulle et que $[\Sigma_j]$ sera un multiple entier de ω . Par ailleurs, pour $x \in \mathbb{R}$, nous noterons $x^+ = \sup(x, 0)$ et $x^- = \sup(0, -x)$.

Une première déformation de Σ_1 permet (par r -souplesse) d'éliminer suffisamment de paires de points d'intersection avec S de signes opposés pour

se ramener à une surface (ω, ω_0) -h.l. Σ_2 pour laquelle $p_2 = i_1^+$ et $n_2 = i_1^-$, en assurant (par le lemme 28) qu'il existe une structure presque-complexe J_2 orthogonale à ω_0 , compatible avec ω , C^0 -arbitrairement proche du J initial, et qui coïncide avec J au voisinage de S , pour laquelle Σ_1 et Σ_2 sont J_2 -holomorphes.

Fixons $\epsilon > 0$. D'après le lemme 21, il existe une 2-forme fermée ω_2 , orthogonale à ω_0 , qui approche la surface Σ_2 à ϵ près. Il existe alors un entier A assez grand pour que la forme $\omega_3 = A\omega - \omega_2$, orthogonale à ω_0 , soit elle aussi symplectique et induise une forme de signe constant sur chaque triangle τ , d'intégrale $-i_1(\tau)$ (cf. la remarque p. 25). Comme ω et ω_2 , ω_3 est à périodes entières.

D'après le lemme 22, il existe une structure presque-complexe J_3 , compatible avec ω_3 , orthogonale à ω_0 , C^0 -arbitrairement proche du J initial, telle que J_2 et J_3 coïncident le long de Σ_1 et Σ_2 .

Nous avons maintenant besoin d'un résultat d'approximation des formes symplectiques par les courants, qui opère une "moyennisation" de la proposition de Donaldson et Sikorav 21. Il remplacera la formule de Crofton dans la preuve de J. Duval [24]. Dans ce paragraphe, ω désigne une forme symplectique à périodes entières quelconques sur la variété X .

Pour $\epsilon > 0$ ($\epsilon \geq C/\sqrt{k}$, où C est une constante indépendante de k), donnons-nous comme dans [7] un triplet de sections (s_k^0, s_k^1, s_k^2) de L^k qui définit un revêtement ramifié singulier ϵ -approximativement holomorphe $f_k : X \rightarrow \mathbb{C}\mathbb{P}^2$, avec une surface de ramification $R_k \subset X$.

Pour chaque point θ du plan dual $\mathbf{H} = (\mathbb{C}\mathbb{P}^2)^*$, considérons la droite complexe $D_\theta \subset \mathbb{C}\mathbb{P}^2$ définie par θ et $f_k^{-1}(D_\theta) = \Sigma_k^{(\theta)} \subset X$. Chaque surface $\Sigma_k^{(\theta)}$ est symplectique, lisse en-dehors de $R_k \cap \Sigma_k^{(\theta)}$, ϵ -approximativement holomorphe; elle est le lieu des zéros d'une section $s_k^{(\theta)}$ de L^k . L'holomorphic approximative de f_k , ainsi que sa structure le long de R_k , entraînent que dans chaque pinceau $\{\theta \in (\mathbb{C}\mathbb{P}^1)^* \subset \mathbf{H}\}$, seul un nombre fini de $\Sigma_k^{(\theta)}$ possède des points singuliers.

Considérons le courant D_k de degré 2 sur X obtenu en intégrant les courants $[\Sigma_k^{(\theta)}]$ pour la mesure de Fubini-Study $d\theta$ sur \mathbf{H} , normalisée de manière à ce que la masse totale de \mathbf{H} soit égale à 1.

Pour l'analyse de D_k , nous utilisons encore les métriques $\mathbf{g}_k = kg$ sur X . Comme pour le lemme 24, il existe un réel $\delta > 0$ tel que les intersections, hors de R_k , des $\Sigma_k^{(\theta)}$ avec les boules de rayon δ soient des graphes sur leur plan tangent avec les dérivées premières bornées par 1. La restriction de D_k à chaque boule $B(x_0, \delta)$ qui évite R_k est un courant lisse, *i.e.*, induit une

forme différentielle $\omega_{(k)}$ sur cette boule.

Lemme 31 $\|\omega_{(k)} - k.\omega\| = O(\sqrt{k})$.

Suivant Donaldson ([19], p. 702), si $s_k^{(\theta)}$ est la section de L^k définissant $\Sigma_k^{(\theta)}$, la 1-forme de connexion associée $A_k^{(\theta)} = (s_k^{(\theta)})^{-1}\nabla s_k^{(\theta)}$ est L^1 , et l'on a $dA_k^{(\theta)} = \Sigma_k^{(\theta)} - k\omega$. Il existe $\eta > 0$ tel que $s_k^{(\theta)}$ est η -transverse à la section nulle. Pour établir le lemme, il suffit donc d'estimer le courant lisse

$$B_k = \int_H d\theta dA_k^{(\theta)}.$$

Prenons un 2-simplexe singulier Δ dans $B(x_0, \delta)$ et découpons-le en triangles Δ_j de diamètres respectifs η_j . Notons \mathbf{C}_j l'ensemble des $\theta \in \mathbf{H}$ tels que $\|s_k^{(\theta)}(x)\| \geq \eta_j$ pour tout $x \in \Delta_j$, et \mathbf{C}_j^* son complémentaire dans \mathbf{H} . Alors :

$$\int_{\Delta_j} B_k = \int_{\partial\Delta_j} dz \int_{\mathbf{C}_j} d\theta \frac{\nabla s_k^{(\theta)}}{s_k^{(\theta)}} + \int_{\partial\Delta_j} dz \int_{\mathbf{C}_j^*} d\theta \frac{\nabla s_k^{(\theta)}}{s_k^{(\theta)}}.$$

La première intégrale est nulle, comme somme d'une forme fermée.

La seconde est majorée par $C_1.\|\partial\Delta_j\|.\eta_j.\sqrt{k}$ (où $\|\partial\Delta_j\|$ est la longueur du périmètre du triangle Δ_j , et C_1 une constante positive indépendante de k). En effet, il existe une constante $C_2 > 0$ (indépendante de k) telle que $\|\nabla s_k^{(\theta)}\| \leq C_2$.

Quant à $\int_{\mathbf{C}_j^*} d\theta / \|s_k^{(\theta)}\|$, montrons qu'elle est majorée par $C_7.\eta_j.\sqrt{k}$, où C_7 est une constante positive indépendante de k :

Par définition de \mathbf{C}_j , pour tout $\theta \in \mathbf{C}_j^*$, il existe un point $x \in \Delta_j$ tel que $\|s_k^{(\theta)}(x)\| < \eta_j$. Comme, par ailleurs, les dérivées premières des $s_k^{(\theta)}$ sont bornées par 1 sur $B(x_0, \delta)$, et que le diamètre de Δ_j est η_j , nous obtenons l'existence d'une constante $C_3 > 0$ (indépendante de j et de k) telle que

$$\forall \theta \in \mathbf{C}_j^*, \forall z \in \partial\Delta_j, \|s_k^{(\theta)}(z)\| < \kappa.\eta_j.$$

Quitte à réduire les η_j , nous pouvons supposer que $\kappa.\eta_j < \eta$.

Soit $z \in \partial\Delta_j$; dans $\mathbb{C}\mathbb{P}^2$, il existe des coordonnées locales (z, w) centrées en $f_k(z)$, telles que la mesure $d\theta$ se décompose en $d\beta du$, où $\{w = \beta z + u\}$ est l'équation locale de D_θ (en particulier, $\theta \in H_z^{(k)}$ si, et seulement si $u = 0$). Par η -transversalité de $s_k^{(\theta)}$, et en ayant préalablement réduit les η_j

au besoin pour rester dans les ouverts de coordonnées locales, il existe une constante $\kappa' > 0$ telle que, pour tout $\theta = (\beta, u) \in \mathbf{C}_j^*$, u appartienne au disque $d_{\kappa'\eta_j} \subset \mathbb{C}$ de centre 0 et de rayon $\kappa'\eta_j$.

Nous obtenons alors une majoration sur l'intégrale :

$$\int_{\mathbf{C}_j^*} \frac{d\theta}{\|s_k^{(\theta)}\|} \leq \int_{H_Z^{(k)}} d\beta \int_{d_{\kappa'\eta_j}} \frac{du}{\|s_k^{(\beta,u)}(z)\|}.$$

Mais $\|s_k^{(\beta,u)}(z)\|$ est minoré par $C_4 u / \sqrt{k}$ lorsque u est assez petit, par η -transversalité (C' constante), de sorte qu'il existe une constante C_5 telle que

$$\int_{d_{\kappa'\eta_j}} \frac{du}{\|s_k^{(\beta,u)}(z)\|} \leq C_5 \cdot \eta_j \cdot \sqrt{k}.$$

Par ailleurs, $\int_{H_Z^{(k)}} d\beta$ est uniformément bornée par une constante C_6 , et il suffit de poser $\tilde{C}_7 = C_5 C_6$ pour obtenir la majoration souhaitée.

Pour tout triangle Δ_j , $|\partial\Delta_j|$ est en $O(\eta_j)$, de sorte que $\int_{\Delta_j} B_k$ est majoré par $C_4 \cdot \eta_j^2 \cdot \sqrt{k}$ (C_4 constante indépendante de j et de k). En sommant sur tous les Δ_j , nous obtenons finalement l'existence d'une constante C_5 telle que $|\int_{\Delta} B_k| \leq C_5 \sqrt{k}$, ce qui démontre le lemme. \diamond

Cette construction nous sert à établir le lemme suivant :

Lemme 32 *Soit K un nombre réel strictement positif. Pour tout $\epsilon > 0$ suffisamment petit, et pour tout entier k suffisamment grand, il existe un entier $l = l(k)$, un fibré L' sur \tilde{X} , et une famille de sections s_3 de $L^k \otimes L'$, asymptotiquement J_3 -holomorphe et ϵ -transverse à Σ_2 , tels que $\Sigma_3 = s_3^{-1}(0)$ soit (ω, ω_0) -h.l. et vérifie*

$$\|n_3 - l.i_1^+\| + \|p_3 - l.i_1^-\| < \frac{l}{4K}$$

C'est maintenant à la structure ω_3 que nous allons appliquer la construction précédente, avec $k > C^{-2}/\epsilon^2$; cette fin de démonstration est analogue à celle du lemme 3 de [24].

Donnons-nous comme précédemment $f_k : \tilde{X} \rightarrow \mathbb{CP}^2$, ϵ -approximativement holomorphe, et soit $R_k \subset \tilde{X}$ le lieu de ramification (asymptotiquement J_3 -holomorphe). Comme dans la démonstration du lemme 30, commençons par construire de petits losanges U' autour des points de $R_k \cap S$, qui évitent Σ_2 . Notons à nouveau U la réunion de ces losanges, $\mathbf{T}^{(k)}$ (respectivement $\mathbf{H}_s^{(k)}$) l'ensemble des $\theta \in \mathbf{H}$ pour lesquels $\Sigma_k^{(\theta)}$ n'est pas transverse à S (respectivement, passe par un point s donné dans S). Il existe un voisinage

V de $\mathbf{T}^{(k)}$ tel que la mesure de $V \cap \mathbf{H}_s^{(k)}$ soit majorée par ϵ uniformément pour $s \in S \setminus U$, et un réel $r' > 0$ tel que pour tout $\theta \in \mathbf{H}_s^{(k)} \setminus V$, la surface $\Sigma_k^{(\theta)}$ soit r' -souple. Choisissons une triangulation (τ') plus fine que (τ) en triangles de diamètre inférieur ou égal à r' .

De plus, soit $\mathbf{T}'^{(k)}$ l'ensemble des $\theta \in \mathbf{H}$ tels que $\Sigma_k^{(\theta)}$ ne coupe pas Σ_2 transversalement et positivement. La surface Σ_2 étant J_2 -holomorphe avec J_2 ϵ -proche de J , f_k est encore approximativement holomorphe à l'ordre $O(\epsilon)$ pour J_2 au voisinage de Σ_2 ; comme chaque $\Sigma_k^{(\theta)}$ est image réciproque par f_k de la droite holomorphe D_θ de $\mathbb{C}\mathbb{P}^2$, la mesure de $\mathbf{T}'^{(k)}$ est majorée par ϵ fois une constante C' .

Notons V' un voisinage de $\mathbf{T}'^{(k)}$ de mesure inférieure ou égale à $2C'\epsilon$, et V'' la réunion de V et de V' . Alors, en utilisant la remarque p. 25, pour chaque triangle τ' , la différence $\int_{\tau'} \omega_3 - \int_{H \setminus V''} (\Sigma_k^{(\theta)} \cdot \tau') d\theta$ est (au plus) de l'ordre de $C'' \cdot \epsilon \cdot \text{aire}(\tau')$ (où C'' est une constante indépendante de k).

Considérons maintenant un entier n et n éléments θ_j de \mathbf{H} répartis régulièrement par rapport à la mesure $d\theta$ dans \mathbf{H} , et notons $\Sigma_{(n)}$ la réunion des surfaces $\Sigma_k^{(\theta_j)}$ pour tous les $\theta_j \notin V''$. Par convergence des sommes de Riemann vers l'intégrale et d'après le lemme 31, n peut être choisi assez grand pour que les différences $\frac{1}{kn} i_{(n)} - \int_{\tau'} \omega_3$ soient de l'ordre de $\epsilon \cdot \text{aire}(\tau')$ pour tout triangle τ' . Par r' -souplesse et d'après le lemme 27, nous pouvons déformer $\Sigma_{(n)}$ en une courbe J_3 -holomorphe Σ_3 qui vérifie $p_3 = i_{(n)}^+$ et $n_3 = i_{(n)}^-$ sur (τ') . La transversalité à Σ_2 a déjà été assurée.

Finalement, ω_3 étant ϵ -proche d'une forme de signe constant sur chaque τ , il existe une constante C ne dépendant que de la triangulation telle que $\|n_3 - l \cdot i_1^+\| + \|p_3 - l \cdot i_1^-\| < C \cdot l \cdot \epsilon$, avec $l = kn$. Si ϵ a été choisi suffisamment petit au départ, le lemme en résulte. \diamond

Rappelons que la triangulation (τ) de S est fixée; par linéarité de l'application cobord de l'espace des 1-cochaînes simpliciales à coefficients réels $\mathcal{C}^1(S)$ dans l'espace des 2-cocycles simpliciaux à coefficients réels $\mathcal{Z}^2(S)$, il existe une constante strictement positive K , telle que, pour tout 2-cocycle u , nul en cohomologie, on puisse trouver une 1-cochaîne c telle que $d(c) = u$ et $\|c\| \leq K \|u\|$. C'est à cette constante K que nous allons appliquer le lemme précédent.

Lemme 33 *Pour k entier assez grand, il existe une famille de sections s_4 de L^k tels que $\Sigma_4 = s_4^{-1}(0)$ soit (ω, ω_0) -h.l., r -souple, à intersections positives avec Σ_3 , et vérifie $n_4(\tau) > p_3(\tau)$, $p_4(\tau) > n_3(\tau)$, et $i_4(\tau) = -i_3(\tau)$ pour tout*

triangle τ .

Partons cette fois de la réunion Σ'_4 de l surfaces lagrangiennes vérifiant les mêmes propriétés que celles que nous avons demandées pour Σ_1 ci-dessus. Par le lemme 32, $li_1 + i_3$ est le cobord d'une 1-cochaîne c vérifiant $\|c\| < \frac{l}{4}$. Fixons une arête orientée a de la triangulation (τ) ; S étant orientée près de a , l'un des deux triangles adjacents à a induit la bonne orientation sur a . Il est alors possible de faire passer $c(a)$ intersections orientées de ce triangle vers l'autre : en effet, pour chaque triangle τ , Σ'_4 intersecte positivement (resp. négativement) τ en au moins l points, alors que $\sum_{\partial\tau} |c(a)| < \frac{3l}{4}$. La courbe Σ_4 ainsi obtenue convient. \diamond

Nous pouvons maintenant déformer Σ_4 dans chaque τ de manière à faire coïncider chaque point de $\Sigma_3 \cap \tau$ avec un point de $\Sigma_4 \cap \tau$ de signe d'intersection opposé. Par déformation, nous pouvons aussi faire coïncider les points restants de $\Sigma_4 \cap \tau$ par paires de points pour lesquels les signes d'intersection sont opposés. Appliquant le lemme 28 à la réunion de Σ_3 et de la déformée de Σ_4 , nous éliminons toutes ses intersections avec S . Les intersections de Σ_3 et Σ_4 sont toutes transverses et positives : elles peuvent donc aussi être éliminées par chirurgie, d'où le lemme suivant :

Lemme 34 *Il existe une structure symplectique ω' cohomologue à ω , et une surface $\tilde{\Sigma}$ ω' -holomorphe et ω_0 -lagrangienne, disjointe de S , homologue au dual de Poincaré d'un multiple de ω .*

8 Dernière étape : disjonction de W

D'après Andreotti et Frankel [2, 33], le champ de Liouville ξ_0 de ω_0 sur W se prolonge à X_0 en un champ de Liouville. En suivant les lignes de gradient de $-\xi_0$ (qui est complet), nous pouvons alors tirer $\tilde{\Sigma}$ en une surface Σ plongée dans X_0 , homologue au dual de Poincaré d'un multiple de ω . Ceci termine la démonstration du théorème 3.

Références

- [1] ALBERS P., *On the extrinsic topology of Lagrangian submanifolds*, International Mathematics Research Notices **2005 no. 38** (2005), 2341–2371.
- [2] ANDREOTTI A., FRANKEL T., *The Lefschetz theorem on hyperplane sections*, Annals of Mathematics **69** (1959), 713–717.
- [3] ATIYAH M. F., *Riemann surfaces and spin structures*, Annales Scientifiques de l'École Normale Supérieure **4** (1971), 47–62.
- [4] ATIYAH M. F., SINGER I. M., *The index of elliptic operators : V*, Annals of Mathematics **93** (1971), 139–149.
- [5] AUCKLY D., *Topologically knotted Lagrangians in simply connected 4-manifolds*, Proceedings of the American Mathematical Society **133** (2005), 885–889.
- [6] AUROUX D., *Asymptotically holomorphic families of symplectic submanifolds*, Geometric and Functional Analysis **7** (1997), 971–995.
- [7] AUROUX D., *Symplectic 4-manifolds as branched coverings of $\mathbb{C}\mathbb{P}^2$* , Inventiones mathematicae **139** (2000), 551–602.
- [8] AUROUX D., *Estimated transversality in symplectic geometry and projective maps*, In “Symplectic Geometry and Mirror Symmetry”, Proceedings of the 4th KIAS International Conference (World Scientific, Singapore, 2001), 1–30.
- [9] AUROUX D., DONALDSON S., KATZARKOV L., *Luttinger surgery along Lagrangian tori and non-isotopy for singular symplectic plane curves*, Mathematische Annalen **326** (2003), 185–203.
- [10] AUROUX D., GAYET D., MOHSEN J.-P., *Symplectic hypersurfaces in the complement of an isotropic submanifold*, Mathematische Annalen **321** (2001), 739–754.
- [11] AUROUX D., KATZARKOV L., ORLOV D., *Mirror symmetry for Del Pezzo surfaces : Vanishing cycles and coherent sheaves*, Inventiones Mathematicae **166** (2006), 537–582.
- [12] BAHRAINI A., *Supersymétrie et Géométrie Complexe*, Th : Mathématiques : Université Paris 7 Denis Diderot (2004).
- [13] BARTH W., HULEK K., PETERS C., van de VEN A., *Compact complex surfaces (2nd enlarged ed.)* (Springer-Verlag, Berlin, 2004). (Ergebnisse der Mathematik und ihrer Grenzgebiete. 3. Folge / A Series of Modern Surveys in Mathematics, Vol. 4)

- [14] BENNEQUIN D., *Entrelacements et équations de Pfaff*, Astérisque **107-108** (1983), 83–161.
- [15] BIRAN P., *Lagrangian barriers and symplectic embeddings*, Geometric and Functional Analysis **11** (2001), 407–464.
- [16] BIRAN P., *Lagrangian non-intersections*, Geometric and Functional Analysis **16** (2006), 279–326.
- [17] BIRAN P., CIELIEBAK K., *Lagrangian embeddings into subcritical Stein manifolds*, Israel Journal of Mathematics **127** (2002), 221–244.
- [18] CHIANG R., *New Lagrangian submanifolds of $\mathbb{C}P^n$* , International Mathematics Research Notices **2004 no. 45** (2004), 2437–2441.
- [19] DONALDSON S., *Symplectic submanifolds and almost-complex geometry*, Journal of Differential Geometry **44** (1996), 666–705.
- [20] DONALDSON S., *Lefschetz pencils on symplectic manifolds*, Journal of Differential Geometry **53** (1999), 205–236.
- [21] DONALDSON S., KRONHEIMER P. B., *Geometry of four-manifolds*, (Oxford University Press, Oxford, 1990).
- [22] DONALDSON S., SMITH I., *Lefschetz pencils and the canonical class for symplectic 4-manifolds*, Topology **42** (2003), 743–785.
- [23] DURFEE A., *Bilinear and quadratic forms on torsion modules*, Advances in Mathematics **25** (1977), 133–164.
- [24] DUVAL J., *Une caractérisation kählérienne des surfaces rationnellement convexes*, Acta Mathematica **172** (1994), 77–89.
- [25] ELIASHBERG Ya., *Topological characterization of Stein manifolds of dimension > 2* , International Journal of Mathematics **1** (1990), 29–46.
- [26] FINTUSHEL R., STERN R., *Invariants for Lagrangian tori*, Geometry and Topology **8** (2004), 947–968.
- [27] FLOER A., *Morse theory for Lagrangian intersections*, Journal of Differential Geometry **28** (1988), 513–547.
- [28] FLOER A., *Witten’s complex and infinite dimensional Morse theory*, Journal of Differential Geometry **30** (1989), 207–221.
- [29] FUKAYA K., *Morse homotopy, A_∞ -category and Floer homologies*, Proceedings of GARC Workshop on Geometry and Topology (H.J. Kim ed., Seoul National University, 1993).
- [30] FUKAYA K., *Galois symmetry on Floer cohomology*, Turkish Journal of Mathematics **27** (2003), 11–32.

- [31] GIROUX E., *Structures de contact sur les variétés fibrées en cercles au-dessus d'une surface*, Commentarii Mathematici Helvetici **76** (2001), 218–262.
- [32] GOMPF R. E., *Handlebody construction of Stein surfaces*, Annals of Mathematics **148** (1998), 619–693.
- [33] GRIFFITHS P., HARRIS J., *Principles of Algebraic Geometry* (Wiley-Interscience, 1978, WCL Edition, 1994).
- [34] GROMOV M., *Pseudo holomorphic curves in symplectic manifolds*, Inventiones mathematicae **82** (1985), 307–347.
- [35] GROSS M., WILSON P. M. H., *Large complex structure limits of K3 surfaces*, Journal of Differential Geometry **55** (2000), 475–546.
- [36] KONTSEVICH M., *Homological algebra of mirror symmetry*, In “Proceedings of ICM '94” (Zurich ; Birkhäuser, Basel, 1995).
- [37] KONTSEVICH M., SOIBELMAN Y., *Homological mirror symmetry and torus fibrations*, In “Symplectic geometry and mirror symmetry” (Seoul, 2000 ; World Sci. Publishing, River Edge, NJ, 2001), 203–263.
- [38] KONTSEVICH M., SOIBELMAN Y., *Notes on A_∞ -algebras, A_∞ -categories and non-commutative geometry I*, disponible en document électronique arXiv :math.RA/0606241 (2006).
- [39] KRONHEIMER P. B., MROWKA T. S., *Embedded surfaces and the structure of Donaldson's polynomial invariants*, Journal of Differential Geometry **41** (1995), 573–734.
- [40] LALONDE F., SIKORAV J.-C., *Sous-variétés lagrangiennes et lagrangiennes exactes des fibrés cotangents*, Commentarii Mathematici Helvetici **66** (1991), 18–33.
- [41] LAMOTKE K., *The topology of complex projective varieties after S. Lefschetz*, Topology **20** (1981), 15–51.
- [42] LÊ T.-T., *Surfaces lagrangiennes dans les surfaces projectives complexes*, Th : Mathématiques : Université Paris 7 Denis Diderot (2002).
- [43] LEFSCHETZ S., *L'Analysis situs et la Géométrie algébrique* (Gauthier-Villars, 1924).
- [44] McDUFF D., SALAMON D., *Introduction to symplectic topology* (Oxford University Press, 1995, second edition, 1998).
- [45] MILNOR J., *Spin structures on manifolds*, L'Enseignement Mathématique **9** (1963), 198–203.

- [46] MOHNKE K., *How to (symplectically) thread the eye of a (Lagrangian) needle*, disponible en document électronique arXiv :math.SG/0106139 (2003).
- [47] MOHSEN J.-P., *Transversalité quantitative et sous-variétés isotropes*, Th : Mathématiques : École Normale Supérieure de Lyon (2001).
- [48] OH Y.-G., FUKAYA K., *Floer homology in symplectic geometry and mirror symmetry*, Proceedings of ICM-2006 (Madrid, EMS, 2006), 879–905.
- [49] PICARD É., SIMART G., *Théorie des fonctions algébriques de deux variables indépendantes* (Chelsea Publishing Company, 1897, 1906, second edition, 1971).
- [50] POLTEROVICH L., *Surgery of Lagrange submanifolds*, Geometric and Functional Analysis **1** (1991), 198–210.
- [51] de RHAM G., *Variétés différentielles* (Hermann, 1960, édition corrigée, 1973).
- [52] SEIDEL P., *Floer homology and the symplectic isotopy problem*, PhD Thesis, Oxford University (1997).
- [53] SEIDEL P., *Graded Lagrangian submanifolds*, Bulletin de la Société Mathématique de France **128** (2000), 103–149.
- [54] SEIDEL P., *Vanishing cycles and mutation*, Proceedings of the 3rd European Congress of Mathematics (Barcelona, 2000), Vol. II, Progress in Mathematics **202** (Birkhäuser, Basel, 2001), 65–85.
- [55] SEIDEL P., *More on vanishing cycles and mutation*, In “Symplectic Geometry and Mirror Symmetry”, Proceedings of the 4th KIAS International Conference (Seoul, 2000; World Scientific, Singapore, 2001), 429–465.
- [56] SIKORAV J.-C., *Construction de sous-variétés symplectiques [d’après S. K. Donaldson et D. Auroux]*, Astérisque **252** (1998), 231–253.
- [57] SIKORAV J.-C., *Growth of a primitive of a differential form*, Bull. Soc. math. France **129**(2), (2001), 159–168.
- [58] TAUBES C. H., *$Gr \Rightarrow SW$: From pseudo-holomorphic curves to Seiberg-Witten solutions*, Journal of Differential Geometry **51** (1999), 203–334.
- [59] TAUBES C. H., *$SW \Rightarrow Gr$: From the Seiberg-Witten equations to pseudo-holomorphic curves*, Journal of the American Mathematical Society **9** (1996), 845–918.

- [60] VIDUSSI S., *Lagrangian surfaces in a fixed homology class : existence of knotted Lagrangian tori*, Journal of Differential Geometry **74** (2006), 507–522.
- [61] WEIL A., *Variétés kählériennes* (Hermann Paris, 1958).
- [62] WOLFSON J., *Lagrangian homology classes without regular minimizers*, Journal of Differential Geometry **71** (2005), 307–313.